

บทที่ 3

การประเมินความเสี่ยงถือได้ของระบบไฟฟ้ากำลัง

บทนี้จะกล่าวถึงหลักการและขั้นตอนการประเมินความเสี่ยงถือได้ของระบบไฟฟ้ากำลัง ด้วยการจำลองเหตุการณ์แบบมอนติคาร์โล ซึ่งเป็นวิธีที่อาศัยการสุ่มสถานะของอุปกรณ์ต่างๆ ในระบบ จากนั้นจะทำการวิเคราะห์สถานะของระบบแล้วคำนวณด้วยความเสี่ยงถือได้ของระบบ และทำกระบวนการเหล่านี้ซ้ำๆ จนกระทั่งผลตอบลู่เข้า ประเมินความเสี่ยงถือได้ของระบบไฟฟ้า กำลังด้วยวิธีการนี้ใช้เวลาในการคำนวณค่อนข้างสูงแต่ก็สามารถจัดการกับปัญหาที่ซับซ้อนได้ดี โดยรายละเอียดของวิธีการดังกล่าวมีดังต่อไปนี้

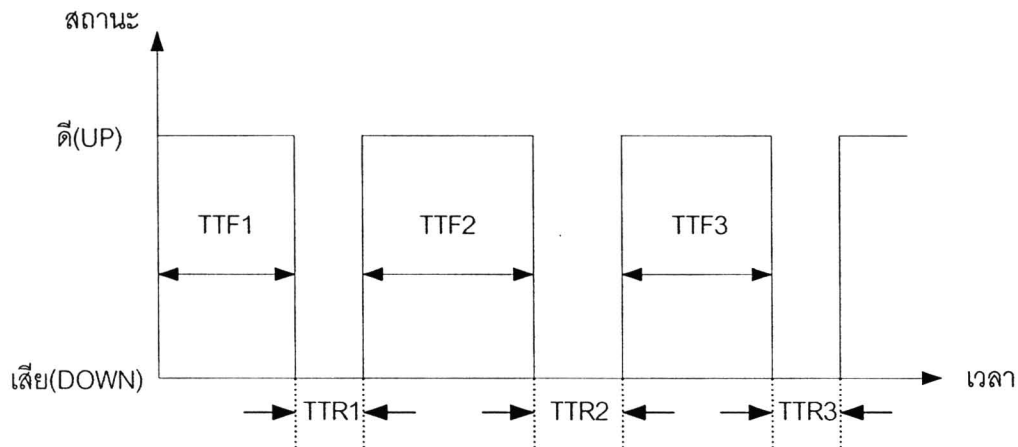
3.1 การจำลองเหตุการณ์แบบมอนติคาร์โล

โดยทั่วไป การวิเคราะห์ความไม่แน่นอนและความเสี่ยงถือได้ระบบไฟฟ้ากำลังสามารถจำแนกได้เป็น 2 ประเภทหลักๆ คือ ระเบียบวิธีการวิเคราะห์ (Analytical Method) และวิธีการจำลองเหตุการณ์ (Simulation Method) ในอดีตการวิเคราะห์ความไม่แน่นอนและความเสี่ยงถือได้ของระบบไฟฟ้ากำลังนั้น ส่วนใหญ่มักใช้ระเบียบวิธีการวิเคราะห์โดยอาศัยทฤษฎีความน่าจะเป็น (Probability Theory) เป็นหลัก การวิเคราะห์ระบบไฟฟ้ากำลังด้วยวิธีการนี้มีจุดด้อยเนื่องจากการคำนวณจะมีความซับซ้อนมากหากระบบมีขนาดใหญ่ ทำให้บางครั้งในการคำนวณจะต้องกำหนดระดับความเสี่ยงถือได้ของระบบด้วยเกณฑ์อุปกรณ์ในสถานะเสียหนึ่งหรือสองอุปกรณ์ (N-1, N-2) ซึ่งอาจจะไม่ครอบคลุมเหตุการณ์ส่วนใหญ่ของระบบไฟฟ้ากำลัง [1], [15], [20]

สำหรับการวิเคราะห์ความไม่แน่นอนและความเสี่ยงถือได้ของระบบไฟฟ้ากำลังด้วยการจำลองเหตุการณ์ จะอาศัยการสุ่มสถานะของอุปกรณ์ต่างๆ ในระบบ และทำกระบวนการนี้ซ้ำๆ ด้วยคอมพิวเตอร์จนกระทั่งผลตอบลู่เข้า การวิเคราะห์ด้วยวิธีการนี้ใช้เวลาในการคำนวณค่อนข้างสูง แต่ก็สามารถจัดการกับปัญหาที่ซับซ้อนได้ดี ดังนั้นในวิทยานิพนธ์นี้จะอาศัยการจำลองเหตุการณ์แบบมอนติคาร์โลซึ่งเป็นวิธีที่ยังคงประสิทธิภาพสูงแม้ว่าขนาดของระบบจะใหญ่ขึ้นมากก็ตาม การจำลองเหตุการณ์แบบมอนติคาร์โลมีหลายวิธี เช่น การสุ่มสถานะ การสุ่มช่วงเวลาการทำงาน การสุ่มการเปลี่ยนสถานะของระบบ เป็นต้น ในวิทยานิพนธ์นี้จะใช้การสุ่มช่วงเวลาการทำงานของอุปกรณ์ต่างๆ ในระบบ เนื่องจากมีข้อดีคือ สามารถจำลองลักษณะฟังก์ชันการกระจายตัวของรอบการทำงานของอุปกรณ์ต่างๆ ในระบบ โดยใช้ฟังก์ชันการกระจายตัวได้อย่างถูกต้อง แม่นยำ แต่มีข้อเสียที่ต้องใช้หน่วยความจำของคอมพิวเตอร์สูง ใช้เวลาการคำนวณมาก และมีความซับซ้อนสูง แต่เนื่องจากในปัจจุบัน สมรรถนะของคอมพิวเตอร์มีการพัฒนาให้สูงขึ้นมาก ข้อเสียเหล่านี้จึงไม่เป็นปัญหาในการใช้งานในปัจจุบัน

3.2 แบบจำลองรอบการทำงานของอุปกรณ์ในระบบ

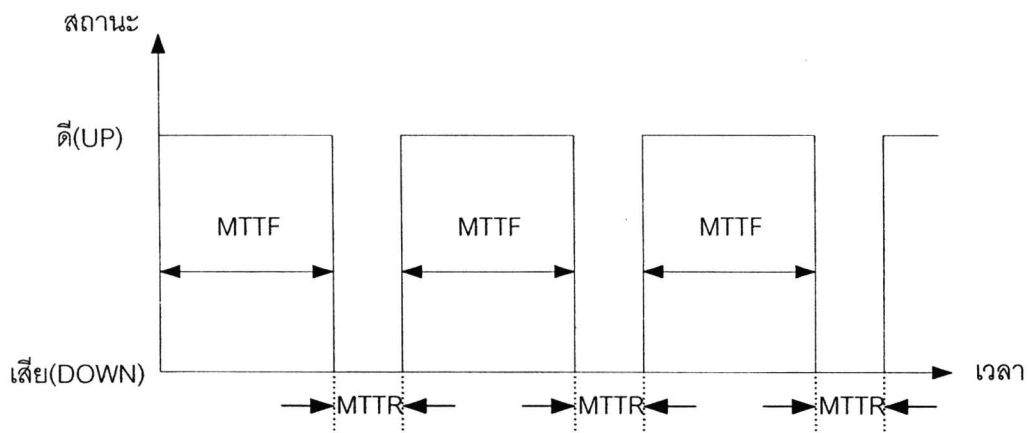
เมื่อพิจารณาในช่วงเวลาหนึ่ง จะพบว่าลักษณะการทำงานของอุปกรณ์ต่างๆ ในระบบไฟฟ้ากำลังนั้น จะมีค่าเป็นช่วงควบเวลาที่ไม่สม่ำเสมอ (Non-periodic) ซึ่งประกอบด้วยสถานะการทำงานปกติ จากนั้นจะมีการซ้อมแซม "สถานะเสีย" ตลอดกับสถานะขัดข้อง "สถานะดี" จนสามารถใช้งานได้ดังเดิมเป็น "สถานะดี" ได้ ดังแสดงในรูปที่ 3.1



รูปที่ 3.1 ลักษณะการทำงานของอุปกรณ์

โดยที่ TTF_i คือ เวลาที่อุปกรณ์จะเสีย หรือระยะเวลาที่อุปกรณ์สามารถทำงานได้ในครั้งที่ i
 TTR_i คือ เวลาในการซ้อมแซมอุปกรณ์ หรือระยะเวลาที่อุปกรณ์เสียในครั้งที่ i

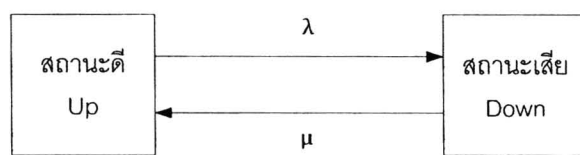
จากรูปที่ 3.1 จะเห็นว่าช่วงเวลาที่อุปกรณ์ทำงานได้กับช่วงเวลาที่เสียในแต่ละช่วงอาจจะมีค่าไม่เท่ากัน ดังนั้นในการพิจารณารอบการทำงานของอุปกรณ์ในระบบไฟฟ้ากำลัง เพื่อแทนการทำงานของอุปกรณ์ดังกล่าวในระยะยาวจะใช้ค่าประมาณเป็นระยะเวลาเฉลี่ยในสถานะดี และ ระยะเวลาเฉลี่ยในสถานะเสีย ดังรูปที่ 3.2



รูปที่ 3.2 การทำงานของอุปกรณ์เมื่อประมาณช่วงเวลาที่อุปกรณ์อยู่ในแต่ละสถานะเป็นค่าเฉลี่ย

- โดยที่ MTTF คือ ระยะเวลาโดยเฉลี่ยที่อุปกรณ์สามารถทำงานได้ ซึ่งเป็นค่าเฉลี่ยของ TTF และมีค่าเท่ากับ $1/\lambda$
- MTTR คือ ระยะเวลาโดยเฉลี่ยที่อุปกรณ์เสีย ซึ่งเป็นค่าเฉลี่ยของ TTR และมีค่าเท่ากับ $1/\mu$
- λ คือ อัตราการเสีย (Failure Rate) หรืออัตราการออกจากสถานะดี
- μ คือ อัตราการซ่อม (Repair Rate) หรืออัตราการเข้าสู่สถานะดี

จากแนวความคิดดังกล่าวทำให้เราสามารถพิจารณาการทำงานของอุปกรณ์ในระบบไฟฟ้ากำลังในช่วงเวลาที่สนใจได้เป็นสถานะของการทำงานตามแบบจำลองมาร์คอฟฟ์ 2 สถานะ ดังรูปที่ 3.3 ซึ่งประกอบด้วย อัตราการเสีย (λ) และอัตราการซ่อมแซม (μ)



รูปที่ 3.3 แบบจำลองมาร์คอฟฟ์ 2 สถานะ

ซึ่งแบบจำลองดังกล่าว จะถูกใช้ในการคำนวณหาระยะเวลาที่แต่ละอุปกรณ์ในระบบไฟฟ้ากำลังอยู่ในสถานะหนึ่งๆ จนกระทั่งเปลี่ยนสถานะ ต่อไป

3.3 การสุมช่วงเวลาการทำงาน

การสุมช่วงเวลาการทำงานเป็นการจำลองการทำงานของอุปกรณ์ในระบบไฟฟ้ากำลัง ตามแบบจำลอง 2 สถานะ โดยจะมีสมมติฐานให้ช่วงเวลาทำงานในแต่ละสถานะ เช่น “สถานะดี” หรือ “สถานะเสีย” และมีการแจกแจงที่อธิบายได้ด้วยฟังก์ชันความหนาแน่นของความน่าจะเป็น (Probability Density Function) ที่เฉพาะเจาะจงหนึ่งๆ และเพื่อให้การจำลองเหตุการณ์นั้นมีความสมเหตุสมผล การใช้การแจกแจงที่เหมาะสมจึงเป็นสิ่งที่สำคัญ ดังนั้น เราควรเลือกใช้การแจกแจงที่สอดคล้องกับพฤติกรรมของแต่ละอุปกรณ์ในระบบไฟฟ้ากำลัง [1]

โดยทั่วไป ระยะเวลาที่อุปกรณ์หนึ่งๆ อยู่ในสถานะดี สามารถอธิบายได้ด้วยการแจกแจงแบบเอกโพเนนเชียล (Exponential Distribution Function) ดังสมการที่ (3.1)

$$f_T(t) = \lambda e^{-\lambda t} \quad (3.1)$$

- โดยที่ λ คือ อัตราความล้มเหลว
 T คือ เวลา

โดยที่ ค่าความไม่พร้อมมูล (U) ที่เวลา T สามารถคำนวณได้จากสมการที่ (3.2)

$$U = F_T(T) = \int_0^T \lambda e^{-\lambda t} = 1 - e^{-\lambda T} \quad (3.2)$$

และสามารถจัดรูปสมการใหม่ได้ดังนี้

$$T = -\frac{1}{\lambda} \ln(1 - U) \quad (3.3)$$

แต่ $(1 - U)$ มีการกระจายเช่นเดียวกับ U ดังนั้น

$$T = -\frac{1}{\lambda} \ln(U) \quad (3.4)$$

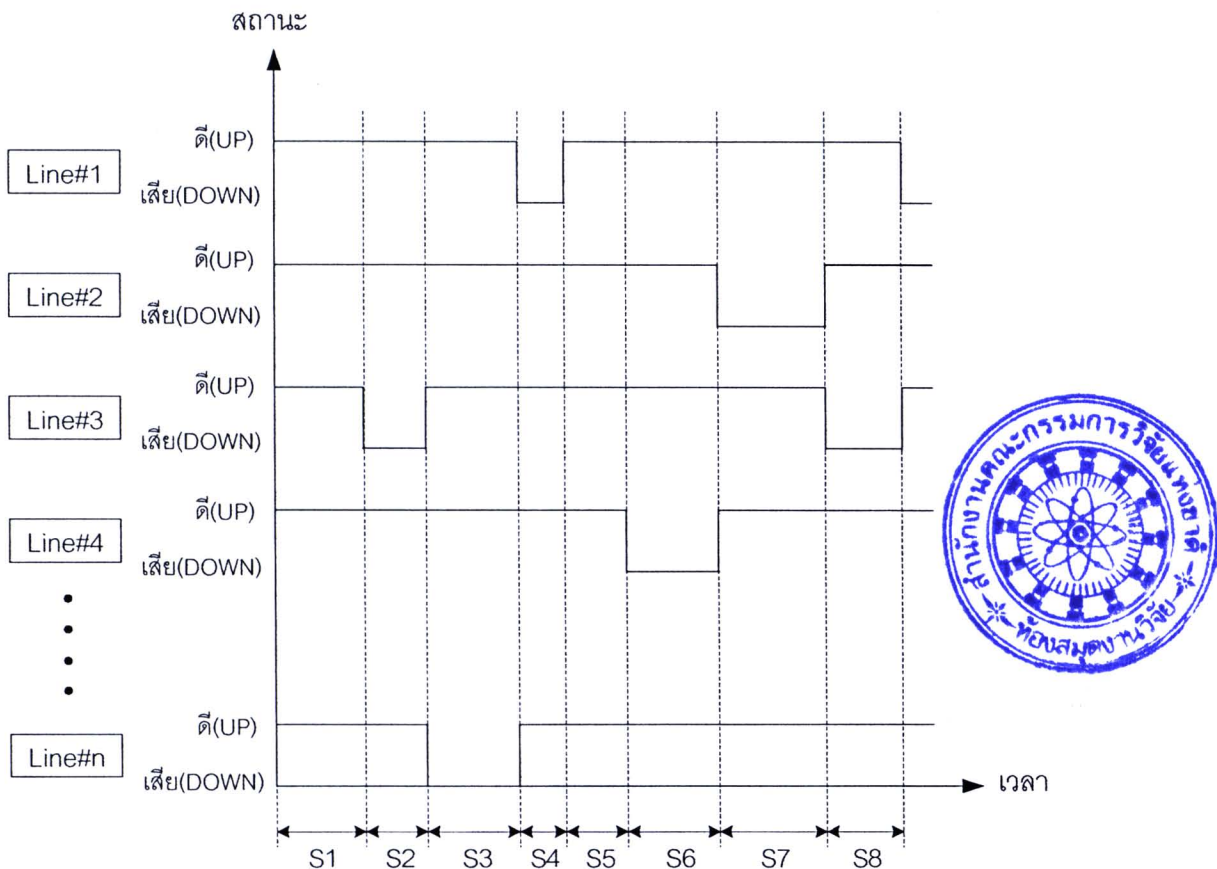
โดยที่ T คือ เวลาที่อุปกรณ์จะเสีย หรือระยะเวลาที่อุปกรณ์สามารถทำงานได้ (TTF)
 U คือ ตัวแปรสุ่มที่มีการกระจายแบบสม่ำเสมอ (Uniform Distribution)

ในทำนองเดียวกัน ช่วงเวลาในการซ่อมแซมอุปกรณ์ในระบบไฟฟ้ากำลังตั้งแต่อุปกรณ์ขัดข้องจนสามารถกลับมาใช้งานได้ สามารถอธิบายได้ด้วยการแจกแจงแบบปกติ (Normal Distribution) ซึ่งเป็นการแจกแจงที่เหมาะสม และสามารถคำนวณช่วงเวลาการซ่อมของอุปกรณ์ได้ดังสมการที่ (3.5)

$$T = r + Z \times \sigma_r \quad (3.5)$$

โดยที่ T คือ เวลาในการซ่อมแซมอุปกรณ์ หรือระยะเวลาที่อุปกรณ์เสีย (TTR)
 r คือ ระยะเวลาในการซ่อมแซมเฉลี่ย
 Z คือ ตัวแปรสุ่มที่มีการกระจายตัวแบบปกติ (Normal Distribution)
 σ_r คือ ความแปรปรวนของระยะเวลาซ่อมแซม โดยปกติกำหนดให้มีค่าเท่ากับ $0.1 \times r$

ด้วยวิธีการดังกล่าวสามารถนำไปใช้สุมระยะเวลาที่แต่ละอุปกรณ์อยู่ในสถานะหนึ่งๆ จนกระทั่งเปลี่ยนสถานะ และเมื่อทำขั้นตอนทุกอุปกรณ์จนครบระยะเวลาที่ต้องการจะได้ข้อมูลของระบบดังแสดงในรูปที่ 3.4



รูปที่ 3.4 ช่วงเวลาการทำงานของอุปกรณ์ที่เกิดจากภารสุ่ม

โดยที่ S_1, S_2, \dots, S_8 เป็นระยะเวลาที่อุปกรณ์ใดอุปกรณ์หนึ่งในระบบไฟฟ้ากำลังมีการเปลี่ยนสถานะ จากสถานะดีไปสู่สถานะเสียหรือจากสถานะเสียไปสู่สถานะดี ซึ่งเป็นระยะเวลาที่ต้องใช้ในการคำนวณสถานะของระบบ ณ ช่วงเวลานั้นๆ

3.4 การใช้แบบจำลองโหลดโดยคำนึงถึงความไม่แน่นอนของโหลดร่วมด้วย

การนำแบบจำลองโหลดมาใช้ร่วมกับการจำลองเหตุการณ์แบบมอนติคาร์โลโดยคำนึงความไม่แน่นอนของโหลด (Load uncertainty) ร่วมด้วยนั้น จำเป็นต้องรู้ว่า โหลดมีระยะเวลาที่อยู่ในแต่ละสถานะนานเท่าไหร่และโหลดมีการเปลี่ยนแปลงสถานะตัวบิริมาณโหลดเท่าไหร่ จากแบบจำลองโหลดที่ได้กล่าวไว้แล้วในบทที่ 2 จะใช้วิธีการเฉลี่ยข้อมูลการใช้ไฟฟ้า (Load profile) ของการไฟฟ้าส่วนภูมิภาค โดยแบบจำลองโหลดที่ได้นั้นจะมีระยะเวลาที่อยู่ในแต่ละสถานะที่แน่นอน นั่นคือ 6 ชั่วโมง และมีปริมาณโหลดเฉลี่ยที่แน่นอนในแต่ละช่วงเวลา แต่ในความเป็นจริงแล้วเราไม่สามารถคำนวณจากข้อมูลที่มีได้อย่างแม่นยำว่า ในแต่ละช่วงเวลาจะมีปริมาณโหลดเท่าไหร่ ดังนั้น เราจะใช้การสุมปริมาณโหลดในแต่ละช่วงเวลาด้วยพังก์ชันความหนาแน่นของความน่าจะเป็นที่เหมาะสม

โดยทั่วไป ความไม่แน่นอนของโหลดสามารถอธิบายได้ด้วยพังก์ชันการแจกแจงแบบปกติ (Normal Distribution) [21] ซึ่งสามารถคำนวณได้ดังสมการที่ (3.6)

$$P_L = P_{L,av} + Z \times \sigma_r \quad (3.6)$$

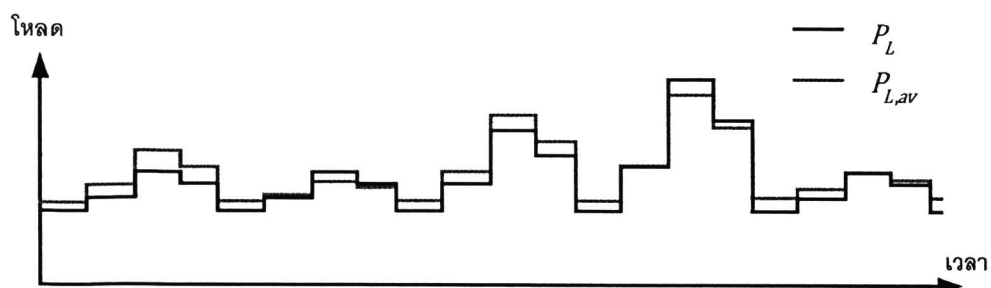
โดยที่ P_L คือ ปริมาณโหลด

$P_{L,av}$ คือ ปริมาณโหลดเฉลี่ย

Z คือ ตัวแปรสุ่มที่มีการกระจายตัวแบบปกติ (Normal Distribution)

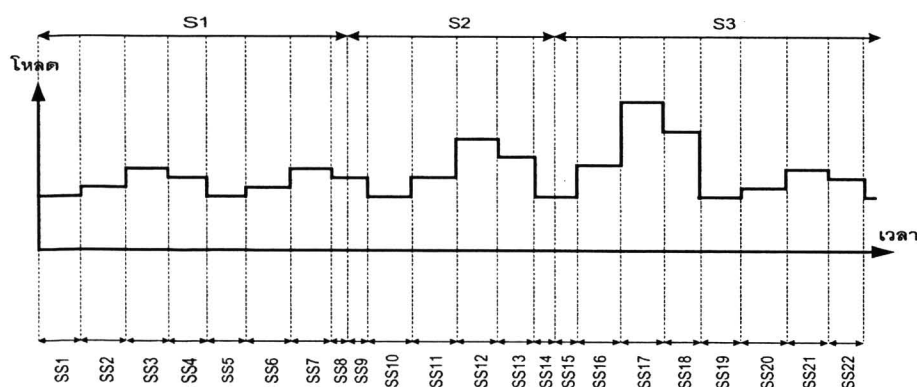
σ_r คือ ความแปรปรวนของปริมาณโหลด โดยกำหนดให้มีค่าเท่ากับ $0.2 \times \sqrt{P_{L,av}}$

วิธีการดังกล่าวจะสามารถคำนวณปริมาณโหลดในแต่ละช่วงเวลาได้ ทำให้รู้ระยะเวลา และปริมาณโหลดในช่วงเวลานั้นๆ ดังรูปที่ 3.5



รูปที่ 3.5 การสุ่มปริมาณโหลดในแต่ละช่วงเวลา

ซึ่งผลที่ได้จะนำไปเปรียบเทียบกับข้อมูลของระบบที่ได้จากการสุ่มช่วงเวลาการทำงานของอุปกรณ์ ดังรูปที่ 3.6 โดยที่ระยะเวลาที่อุปกรณ์หรือโหลดในระบบไฟฟ้ากำลังมีการเปลี่ยนสถานะนั้นคือ $SS_1, SS_2, \dots, SS_{22}$ เป็นระยะเวลาที่ต้องนำไปใช้ในการคำนวณหาสถานะของระบบ ณ ช่วงเวลาดังกล่าว

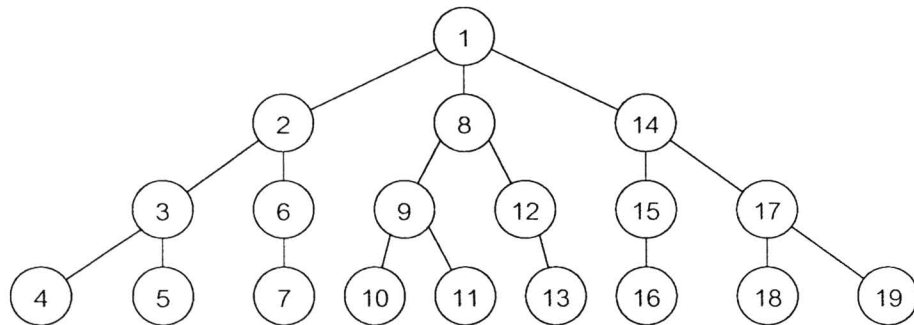


รูปที่ 3.6 ช่วงเวลาการทำงานของอุปกรณ์และช่วงเวลาโหลด

3.5 การวิเคราะห์โครงสร้างระบบไฟฟ้ากำลัง

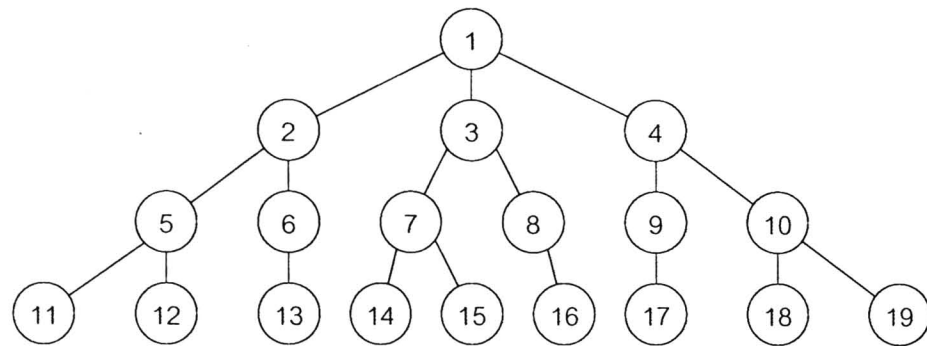
ในแต่ละรอบของการจำลองเหตุการณ์แบบมอนติคาร์โลนั้น อุปกรณ์ต่างๆ ในระบบไฟฟ้ากำลังมีโอกาสเสียพร้อมๆ กันหลายอุปกรณ์ ซึ่งอาจจะส่งผลให้อุปกรณ์ในระบบไฟฟ้ากำลังไม่เชื่อมต่อกันแล้วทำให้ระบบแยกตัวออกเป็นกลุ่ม (Islanding) ทำให้การคำนวณหาสถานะของระบบนั้นจะต้องใช้วิธีการคำนวณที่ละเอียด แล้วนำผลที่ได้มาประมวลผลร่วมกันว่าสถานะของระบบเป็นอย่างไร ดังนั้น จึงจำเป็นต้องทำการวิเคราะห์โครงสร้างระบบไฟฟ้ากำลังเพื่อดูว่าอุปกรณ์ตัวไหนในระบบไฟฟ้ากำลังยังเชื่อมต่อกันอยู่บ้าง และยังเชื่อมต่อกันเป็นกลุ่มหรือไม่ ซึ่งวิธีการวิเคราะห์โครงสร้างระบบไฟฟ้ากำลังที่นิยมใช้มี 2 วิธี [22] คือ

1) วิธีการค้นหาแบบลึกก่อน (Depth-first search) คือ การค้นหาที่กำหนดทิศทางจากตำแหน่งบนสุดไปจนถึงตำแหน่งล่างสุดคล้ายกับโครงสร้างของต้นไม้ โดยเริ่มต้นจากตำแหน่งแรกซึ่งเป็นตำแหน่งที่อยู่บนสุดแล้วค้นหาลงมาจนถึงตำแหน่งล่างสุด จากนั้นให้ย้อนขึ้นมาที่ตำแหน่งก่อนถึงตำแหน่งล่างสุดของกิ่งเดียวที่มีกิ่งแยกและยังไม่ได้ค้นหา แล้วค้นหาลงมาจนถึงตำแหน่งล่างสุดอีก ทำเช่นนี้ซ้ำไปเรื่อยๆ จนกระทั่งสำรวจครบทุกตำแหน่ง โดยการค้นหาแบบลึกก่อนจะมีลำดับการเดินตามตัวเลขที่กำกับไว้ในแต่ละตำแหน่ง ดังรูปที่ 3.7



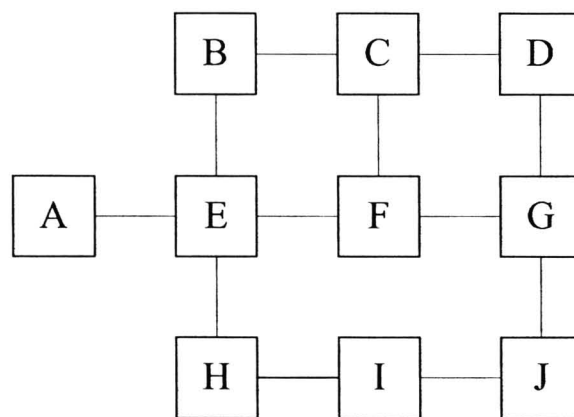
รูปที่ 3.7 ลำดับการเดินทางของการค้นหาแบบลึกก่อน

2) วิธีการค้นหาแบบกว้างก่อน (Breadth-first search) คือ การกำหนดทิศทางการค้นหาแบบที่จะระดับของโครงสร้างต้นไม้ โดยเริ่มต้นจากตำแหน่งแรกซึ่งเป็นตำแหน่งที่อยู่บนสุดแล้วค้นหาลงมาหนึ่งระดับจากซ้ายไปขวา จากนั้นให้ค้นหาลงมาอีกหนึ่งระดับจากซ้ายไปขวา ทำเช่นนี้ซ้ำไปเรื่อยๆ จนกระทั่งสำรวจครบทุกตำแหน่ง ซึ่งจะมีลักษณะคล้ายกับการเรียงข้อมูลตามลำดับก่อนหลัง (Queue) โดยการค้นหาแบบกว้างก่อนจะมีลำดับการเดินตามตัวเลขที่กำกับไว้ในแต่ละตำแหน่ง ดังรูปที่ 3.8



รูปที่ 3.8 ลำดับการเดินทางของการค้นหาแบบก้าวกร่องก่อน

วิธีการเหล่านี้มีข้อดีและข้อเสียที่ต่างกันไป ถึงแม้ว่าวิธีการค้นหาแบบลึกก่อนนั้นจะมีขั้นตอนการดำเนินการที่รวดเร็วกว่าวิธีการค้นหาแบบก้าวกร่องก่อน แต่เนื่องจาก วิธีการค้นหาแบบลึก ก่อนเป็นวิธีการทำซ้ำ (Recursive) จึงมีข้อเสียคือ ต้องการหน่วยความจำมาก และมีความซับซ้อนมากกว่าวิธีการค้นหาแบบก้าวกร่องก่อน ดังนั้นในวิทยานิพนธ์นี้จะใช้วิธีการค้นหาแบบก้าวกร่องก่อนในการวิเคราะห์โครงสร้างระบบไฟฟ้า กำลังด้วยวิธีการค้นหาแบบก้าวกร่องก่อน จะเริ่มจากการพิจารณาระบบทัวอย่างเพื่อใช้ในการคำนวณ ดังแสดงในรูปที่ 3.9



รูปที่ 3.9 ระบบตัวอย่างสำหรับการวิเคราะห์โครงสร้างระบบ

ระบบตัวอย่างมีบัสทั้งหมด 10 บัส ซึ่งระบบนี้จะถูกแทนด้วยเมตริกซ์ A ซึ่งเป็นเมตริกซ์เชื่อมโยง (Connectivity matrix) ที่มีขนาด 10 แถว 10 หลัก โดยกำหนดให้ บัสที่มีการเชื่อมต่อกัน มีค่าเป็น 1 และบัสที่ไม่มีการเชื่อมต่อกันมีค่าเป็น 0 ทำให้ได้เมตริกซ์ที่มีคุณสมบัติสมมาตรตามแนว диагโนมุน (Diagonal symmetry) และเป็นเมตริกซ์มากเลขศูนย์ (Sparse matrix) ดังนี้

$$A = \begin{matrix} & A & B & C & D & E & F & G & H & I & J \\ A & \left| \begin{matrix} 0 & 0 & 0 & 0 & 1 & 0 & 0 & 0 & 0 & 0 \\ 0 & 0 & 1 & 0 & 1 & 0 & 0 & 0 & 0 & 0 \\ 0 & 1 & 0 & 1 & 0 & 1 & 0 & 0 & 0 & 0 \\ 0 & 0 & 1 & 0 & 0 & 0 & 1 & 0 & 0 & 0 \\ 1 & 1 & 0 & 0 & 0 & 1 & 0 & 1 & 0 & 0 \\ 0 & 0 & 1 & 0 & 1 & 0 & 1 & 0 & 0 & 0 \\ 0 & 0 & 0 & 1 & 0 & 1 & 0 & 0 & 0 & 1 \\ 0 & 0 & 0 & 0 & 1 & 0 & 0 & 0 & 1 & 0 \\ 0 & 0 & 0 & 0 & 0 & 0 & 1 & 0 & 1 & 0 \\ 0 & 0 & 0 & 0 & 0 & 0 & 1 & 0 & 1 & 0 \end{matrix} \right| \end{matrix}$$

การสำรวจเริ่มต้นที่บัส A ให้นำบัสข้างเคียงคือบัส E ไปไว้ในคิว เมื่อสำรวจบัส A เสร็จแล้ว ให้นำข้อมูลในคิวลำดับแรก นั่นคือ บัส E ออกมาสำรวจ แล้วนำข้อมูลข้างเคียงคือบัส B, บัส F และบัส H ไปใส่ไว้ในคิว ตอนนี้คิวจะมีบัส B, บัส F และบัส H อยู่ เมื่อสำรวจบัส E เสร็จแล้วให้นำข้อมูลในคิวลำดับ นั่นคือ บัส B ออกมาสำรวจ แล้วนำข้อมูลข้างเคียงคือบัส C ไปใส่ไว้ในคิว ตอนนี้คิวจะมีบัส F, บัส H และบัส C อยู่ เมื่อสำรวจบัส B เสร็จแล้วให้นำข้อมูลในคิวลำดับแรก นั่นคือ บัส F ออกมาสำรวจ ทำเช่นนี้ไปเรื่อยๆ จนกระทั่งสำรวจครบทุกบัส ซึ่งจะได้ลำดับการสำรวจข้อมูลคือ (A E B F H C G I D J) ตามตารางที่ 3.1

ตารางที่ 3.1 การค้นหาแบบกว้างก่อน

บัสที่สำรวจ	คิว
A	E
E	B F H
B	F H C
F	H C G
H	C G I
C	G I D
G	I D J
I	D J
D	J
J	

จากตารางที่ 3.1 แสดงให้เห็นว่าบัส A, E, B, F, H, C, G, I, D และ J เชื่อมต่อกันอยู่ และ เป็นบัสที่อยู่ในกลุ่มเดียวกัน ซึ่งสอดคล้องกับรูปที่ 3.9

3.6 การวิเคราะห์ระบบด้วยการคำนวณการไหลของกำลังไฟฟ้า

การจำลองเหตุการณ์แบบมอนติคาร์โลนั้นจะใช้ข้อมูลจากแบบจำลองมาร์คอฟฟ์ 2 สถานะ เพื่อใช้ในการจำลองรอบการทำงานของอุปกรณ์ต่างๆ ซึ่งในแต่ละช่วงการทำงานของ อุปกรณ์นั้นจะต้องทำการคำนวณการไหลของกำลังไฟฟ้าเพื่อใช้วิเคราะห์สถานะของระบบด้วย ดังนั้น การคำนวณการไหลของกำลังไฟฟ้าจึงมีบทบาทสำคัญในการจำลองเหตุการณ์

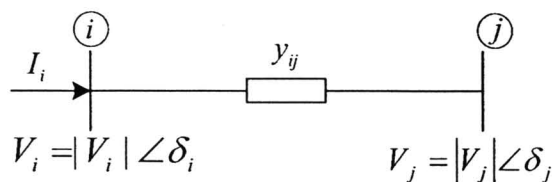
วิธีการคำนวณการไหลของกำลังไฟฟ้าด้วยวิธีของนิวตัน-ราฟสัน เป็นวิธีที่นิยมนำมาใช้ มากที่สุด เนื่องจากเป็นวิธีการที่มีประสิทธิภาพ มีความน่าเชื่อถือ มีคุณสมบัติการลู่เข้าหาคำตอบ ที่รวดเร็วและจำนวนรอบของการทำซ้ำไม่ขึ้นอยู่กับขนาดของระบบไฟฟ้า การใช้วิธีนี้ในการหา สถานะของระบบจะเริ่มต้นจากความรู้พื้นฐานทางไฟฟ้ากำลัง การคำนวณหาผลเฉลยของสมการ การไหลของกำลังไฟฟ้าด้วยวิธีของนิวตัน-ราฟสัน และการพิจารณาสถานะของระบบ [10]

เมื่อพิจารณาระบบไฟฟ้า N บัส ด้วยวิธีการตรวจพิจารณา (Inspection) และ สามารถ แสดงความสัมพันธ์ระหว่างแรงดันที่บัส กับกระแสที่จัดเข้าบัส (Bus injected current) ได้ดัง สมการที่ (3.7)

$$\begin{bmatrix} I_1 \\ \vdots \\ I_n \end{bmatrix} = \begin{bmatrix} Y_{11} & \cdots & Y_{1n} \\ \vdots & \ddots & \vdots \\ Y_{n1} & \cdots & Y_{nn} \end{bmatrix} \begin{bmatrix} V_1 \\ \vdots \\ V_n \end{bmatrix} \quad (3.7)$$

โดยที่

$$I_i = \sum_{j=1}^N Y_{ij} V_j = \sum_{j=1}^N |Y_{ij}| |V_j| \angle \theta_{ij} + \delta_j \quad (3.8)$$



รูปที่ 3.10 บัสในระบบไฟฟ้ากำลัง

จากสมการที่ (3.8) กระแสที่จัดเข้าบัสที่ i ซึ่งเขียนในรูปของบัสแอดมิตเตนซ์ เมตริกซ์ และจากรูปที่ 3.10 เราสามารถเขียนสมการของกำลังไฟฟ้าเชิงซ้อน (Power flow equation) สรุป ที่เหลือเข้าบัสที่ i ได้ดังนี้

$$P_i - jQ_i = V_i^* I_i = (|V_i| \angle -\delta_i) \sum_{j=1}^N |Y_{ij}| |V_j| \angle \theta_{ij} + \delta_{ij} \quad (3.9)$$

เมื่อแยกพิจารณาส่วนจริงและส่วนจินตภาพของสมการการไฟฟ้าจะได้

$$P_{i,cal} = \sum_{j=1}^N |V_i| |V_j| |Y_{ij}| \cos(\theta_{ij} - \delta_i + \delta_j) \quad (3.10)$$

$$Q_{i,cal} = \sum_{j=1}^N |V_i| |V_j| |Y_{ij}| \sin(\theta_{ij} - \delta_i + \delta_j) \quad (3.11)$$

กำลังไฟฟ้าจริงและกำลังไฟฟ้ารีแอคทีฟที่คำนวณได้ตามสมการ (3.10) และ (3.11) จะเท่ากับกำลังไฟฟาร่วมที่ได้รับการจัดสรรใช้ที่แต่ละบัส นั่นคือ

$$P_{i,sch} - P_{i,cal}(|V|, \delta) = 0 \quad (3.12)$$

$$Q_{i,sch} - Q_{i,cal}(|V|, \delta) = 0 \quad (3.13)$$

เราสามารถหาผลเฉลยของสมการการไฟฟ้านี้ด้วยวิธีของนิวตัน-ราฟสัน โดยการจัดรูปแบบเป็นหนาดังสมการที่ (3.14)

$$\begin{bmatrix} \Delta P_1^{(k)} \\ \vdots \\ \Delta P_n^{(k)} \\ \Delta Q_1^{(k)} \\ \vdots \\ \Delta Q_n^{(k)} \end{bmatrix} = \begin{bmatrix} \frac{\partial P_{1,cal}^{(k)}}{\partial \delta_1} & \dots & \frac{\partial P_{1,cal}^{(k)}}{\partial \delta_n} & \frac{\partial P_{1,cal}^{(k)}}{\partial |V_1|} & \dots & \frac{\partial P_{1,cal}^{(k)}}{\partial |V_n|} \\ \vdots & \ddots & \vdots & \vdots & \ddots & \vdots \\ \frac{\partial P_{n,cal}^{(k)}}{\partial \delta_1} & \dots & \frac{\partial P_{n,cal}^{(k)}}{\partial \delta_n} & \frac{\partial P_{n,cal}^{(k)}}{\partial |V_1|} & \dots & \frac{\partial P_{n,cal}^{(k)}}{\partial |V_n|} \\ \frac{\partial Q_{1,cal}^{(k)}}{\partial \delta_1} & \dots & \frac{\partial Q_{1,cal}^{(k)}}{\partial \delta_n} & \frac{\partial Q_{1,cal}^{(k)}}{\partial |V_1|} & \dots & \frac{\partial Q_{1,cal}^{(k)}}{\partial |V_n|} \\ \vdots & \ddots & \vdots & \vdots & \ddots & \vdots \\ \frac{\partial Q_{n,cal}^{(k)}}{\partial \delta_1} & \dots & \frac{\partial Q_{n,cal}^{(k)}}{\partial \delta_n} & \frac{\partial Q_{n,cal}^{(k)}}{\partial |V_1|} & \dots & \frac{\partial Q_{n,cal}^{(k)}}{\partial |V_n|} \end{bmatrix} \begin{bmatrix} \Delta \delta_1^{(k)} \\ \vdots \\ \Delta \delta_n^{(k)} \\ \Delta |V_1^{(k)}| \\ \vdots \\ \Delta |V_n^{(k)}| \end{bmatrix} \quad (3.14)$$

จากเมตริกซ์ข้างบนสามารถเขียนให้อยู่ในรูปเมตริกซ์ย่ออยู่ได้ดังนี้

$$\begin{bmatrix} \Delta P_i \\ \Delta Q_i \end{bmatrix} = \begin{bmatrix} J_1 & J_2 \\ J_3 & J_4 \end{bmatrix} \begin{bmatrix} \Delta \delta_i \\ \Delta |V_i| \end{bmatrix} \quad (3.15)$$

เราเรียกเมตริกซ์ $J = \begin{bmatrix} J_1 & J_2 \\ J_3 & J_4 \end{bmatrix}$ ว่า เมตริกซ์ Jacobian (Jacobian Matrix) โดยสมาชิกในเมตริกซ์ Jacobian คือ อนุพันธ์ย่อยของสมการที่ (3.10) และ (3.11) โดยที่ $J_1 = \frac{\partial P}{\partial \delta}$, $J_2 = \frac{\partial P}{\partial |V|}$, $J_3 = \frac{\partial Q}{\partial \delta}$ และ $J_4 = \frac{\partial Q}{\partial |V|}$ ซึ่งสามารถพิจารณาได้ดังนี้

ສາມາລືກໃນແນວທະແຍງມຸນແລະນອກທະແຍງມຸນຂອງ J_1

$$\frac{\partial P_i}{\partial \delta_i} = \sum_{j \neq i} |V_i| |V_j| |Y_{ij}| \sin(\theta_{ij} - \delta_i + \delta_j) \quad (3.16)$$

$$\frac{\partial P_i}{\partial \delta_j} = -|V_i| |V_j| |Y_{ij}| \sin(\theta_{ij} - \delta_i + \delta_j), j \neq i \quad (3.17)$$

ສາມາລືກໃນແນວທະແຍງມຸນແລະນອກທະແຍງມຸນຂອງ J_2

$$\frac{\partial P_i}{\partial |V_i|} = 2|V_i| |Y_{ii}| \cos \theta_{ii} + \sum_{j \neq i} |V_i| |V_j| |Y_{ij}| \cos(\theta_{ij} - \delta_i + \delta_j) \quad (3.18)$$

$$\frac{\partial P_i}{\partial |V_j|} = |V_i| |Y_{ij}| \cos(\theta_{ij} - \delta_i + \delta_j), j \neq i \quad (3.19)$$

ສາມາລືກໃນແນວທະແຍງມຸນແລະນອກທະແຍງມຸນຂອງ J_3

$$\frac{\partial Q_i}{\partial \delta_i} = \sum_{j \neq i} |V_i| |V_j| |Y_{ij}| \cos(\theta_{ij} - \delta_i + \delta_j) \quad (3.20)$$

$$\frac{\partial Q_i}{\partial \delta_j} = -|V_i| |V_j| |Y_{ij}| \sin(\theta_{ij} - \delta_i + \delta_j), j \neq i \quad (3.21)$$

ສາມາລືກໃນແນວທະແຍງມຸນແລະນອກທະແຍງມຸນຂອງ J_4

$$\frac{\partial Q_i}{\partial |V_i|} = -2|V_i| |Y_{ii}| \sin \theta_{ii} - \sum_{j \neq i} |V_j| |Y_{ij}| \sin(\theta_{ij} - \delta_i + \delta_j) \quad (3.22)$$

$$\frac{\partial Q_i}{\partial |V_j|} = -|V_i| |Y_{ij}| \sin(\theta_{ij} - \delta_i + \delta_j), j \neq i \quad (3.23)$$

ໂດຍທີ່

$$\Delta P_i^{(k)} = P_{i,sch}^{(k)} - P_{i,cal}^{(k)} \quad (3.24)$$

$$\Delta Q_i^{(k)} = Q_{i,sch}^{(k)} - Q_{i,cal}^{(k)} \quad (3.25)$$

ຈາກສາມາລືກຕ່າງໆທີ່ກ່ຽວມາຂ້າງຕົ້ນ ເຮົາສາມາຮັດແກ້ສຳກາຣເພື່ອຫາຄ່າ $\Delta \delta_i$ ແລະ $\Delta |V_i|$ ໄດ້
ຈາກສາມາລືກ (3.26)

$$\begin{bmatrix} \Delta \delta_i \\ \Delta |V_i| \end{bmatrix} = \begin{bmatrix} J_1 & J_2 \\ J_3 & J_4 \end{bmatrix}^{-1} \begin{bmatrix} \Delta P_i \\ \Delta Q_i \end{bmatrix} \quad (3.26)$$

$$= \begin{bmatrix} J_a & J_b \\ J_c & J_d \end{bmatrix} \begin{bmatrix} \Delta P_i \\ \Delta Q_i \end{bmatrix} \quad (3.27)$$

ค่าแรงดันบัสที่ประมาณขึ้นใหม่จากการวินิวตัน-رافลั่นคือ

$$\delta_i^{(k+1)} = \delta_i^{(k)} + \Delta\delta_i^{(k)} \quad (3.28)$$

$$|V_i^{(k+1)}| = |V_i^{(k)}| + \Delta|V_i^{(k)}| \quad (3.29)$$

กระบวนการจะดำเนินต่อไปเรื่อยๆ จนกระทั่งค่า $\Delta P_i^{(k)}$ และ $\Delta Q_i^{(k)}$ (Power mismatch) น้อยกว่าค่าความละเอียดที่ยอมรับได้ (ε) นั่นคือ $|\Delta P_i^{(k)}| \leq \varepsilon$ และ $|\Delta Q_i^{(k)}| \leq \varepsilon$ หลังจากได้คำตอบแล้วเราสามารถวิเคราะห์สถานะของระบบได้ว่าเกิดเหตุขัดข้องหรือไม่ด้วยการพิจารณาว่ากำลังปรากฏในสายส่งเกินขีดจำกัดหรือไม่ แรงดันที่บัสต่ำกว่าหรือสูงกว่ามาตรฐานหรือไม่ และกำลังการผลิตเกินพิกัดหรือไม่ ถ้าไม่มีการละเมิดทุกๆ เงื่อนไข นั่นแสดงว่าไม่มีเหตุขัดข้อง จะกำหนดให้สถานะของระบบในช่วงเวลาหนึ่งเป็นสถานะ “ดี” แต่ถ้ามีการละเมิดเงื่อนไขใดๆ ตามนั้นแสดงว่ามีเหตุขัดข้อง จะใช้วิธีการแก้ไขเหตุขัดข้อง ซึ่งเมื่อแก้ไขเหตุขัดข้องแล้วไม่มีการตัดโหลด จะกำหนดให้สถานะของระบบในช่วงเวลาหนึ่งเป็นสถานะ “ดี” ในทางตรงกันข้าม เมื่อแก้ไขเหตุขัดข้องแล้วมีการตัดโหลด จะกำหนดให้สถานะของระบบในช่วงเวลาหนึ่งเป็นสถานะ “เสีย”

3.7 การแก้ไขปัญหาเมื่อเกิดเหตุขัดข้อง

เนื่องจากอุปกรณ์ต่างๆ ในระบบไฟฟ้ากำลังมีข้อจำกัดในการทำงาน เช่น สายส่งสามารถรับกำลังไฟฟ้าได้ไม่เกินค่าที่กำหนด แรงดันที่บัสต้องไม่ต่ำกว่าและไม่สูงกว่าระดับแรงดันมาตรฐาน กำลังการผลิตไม่เกินพิกัด เป็นต้น ค่ากำหนดต่างๆเหล่านี้ถือเป็นเงื่อนไขบังคับ ทั้งนี้เพื่อความปลอดภัยของอุปกรณ์ต่างๆ ในระบบ ดังนั้นมีการแก้ไขเหตุขัดข้องแล้ว เราจำเป็นต้องทำการแก้ไขเหตุขัดข้อง ซึ่งวิธีการแก้ไขเหตุขัดข้องในระบบจำหน่ายไฟฟ้ามีหลายวิธี เช่น การจัดสรรกำลังการผลิตใหม่ การตัดโหลดออกจากระบบ การปรับแท็ปหม้อแปลง การปรับแรงดันที่เครื่องกำเนิดไฟฟ้า เป็นต้น ในวิทยานิพนธ์นี้จะพิจารณาเฉพาะการจัดสรรกำลังการผลิตใหม่ พร้อมกับการตัดโหลดออกจากระบบและการปรับแท็ปหม้อแปลง เพื่อช่วยแก้ไขเหตุขัดข้องเท่านั้น ซึ่งในทางปฏิบัติ นั้นมีการแก้ไขเหตุขัดข้องแล้ว ผู้ควบคุมระบบไฟฟ้ากำลังจะทำการแก้ไขเหตุขัดข้องด้วยวิธีการปรับแท็ปหม้อแปลงก่อน แล้วทำการจัดสรรกำลังการผลิตใหม่ และถ้าจำเป็นต้องทำการตัดโหลด ก็จะทำการตัดโหลดโดยให้มีค่าความสูญเสียโดยรวมน้อยที่สุด โดยการแก้ไขเหตุขัดข้องดังกล่าวจะพิจารณาปัญหาในรูปแบบการแก้ปัญหาค่าขีดสุด [21], [23], [24]

การแก้ไขปัญหาเมื่อเกิดเหตุขัดข้องจะใช้วิธีการจัดสรรกำลังการผลิตใหม่ พร้อมกับการตัดโหลดออกจากระบบและการปรับแท็ปหม้อแปลงอย่างเหมาะสม ซึ่งสามารถคำนวณได้ด้วยการแก้ปัญหาค่าขีดสุด โดยมี方程式ดังสมการที่ (3.30) คือการหาค่าที่ต่ำที่สุดของผลกระทบของการตัดโหลดและค่าจากการจัดสรรกำลังการผลิตใหม่ ค่าความสูญเสียจากการตัดโหลดและค่าจากการ

ปรับแท็ปมัมอแضل โดยกำหนดให้ผลกระทบจากการปรับแท็ปมัมอแضل (w_a) มีค่าน้อยมากๆ เมื่อเทียบกับผลกระทบจากการจัดสรรกำลังการผลิตเพิ่มหรือลดลง (C_i^{G+}, C_i^{G-}) และผลกระทบจากการตัดโหลด ($C_{L,i}$) เพื่อเป็นการบังคับให้ทำการแก้ไขเหตุข้องด้วยวิธีการปรับแท็ปมัมอ แضلก่อน แล้วทำการจัดสรรกำลังการผลิตใหม่ และถ้าจำเป็นต้องทำการตัดโหลดก็จะทำการตัดโหลดโดยให้มีค่าความสูญเสียโดยรวมน้อยที่สุด และการแก้ปัญหาค่าขีดสุดนี้จะต้องพิจารณาเงื่อนไขบังคับร่วมด้วย โดยเงื่อนไขบังคับที่ต้องพิจารณามีดังต่อไปนี้ สมดุลกำลังไฟฟ้าจริง ขีดจำกัดของสายส่ง ขีดจำกัดแรงดันที่บัส ขีดจำกัดกำลังการผลิตไฟฟ้าสูงสุด ขีดจำกัดกำลังการผลิตไฟฟ้าต่ำสุด ขีดจำกัดของแท็ปมัมอแضلที่สามารถปรับได้ บริมาณโหลดที่สามารถตัดออกจากระบบได้ และกำหนดให้สัดส่วนการตัดโหลดมีค่าคงที่ ซึ่งเงื่อนไขเหล่านี้สามารถเขียนเป็นสมการได้ ดังสมการที่ (3.31)- (3.38) ตามลำดับ

$$\text{Min } z = \sum_{i=1}^{NG} C_i^{G+} \Delta P_i^{G+} + \sum_{i=1}^{NG} C_i^{G-} \Delta P_i^{G-} + \sum_{i=1}^{NL} C_{L,i} \Delta P_{L,i} + w_a \sum_{t=1}^{NT} (\Delta a_t)^2 \quad (3.30)$$

s.t.

$$\sum_i^{NG} (P_i^{G_0} + \Delta P_i^{G+} - \Delta P_i^{G-}) - \sum_i^{NL} (P_{L,i} - \Delta P_{L,i}) - (P_{LS}^0 + \Delta P_{LS}) = 0 \quad (3.31)$$

$$\Delta S_{ij} \leq S_{ij}^{limit} - S_{ij}^0 \quad (3.32)$$

$$V_i^{min} - V_i^0 \leq \Delta V_i \leq V_i^{max} - V_i^0 \quad (3.33)$$

$$\Delta P_i^{G+} \leq P_i^{G,max} - P_i^{G_0} \quad (3.34)$$

$$\Delta P_i^{G-} \leq P_i^{G_0} - P_i^{G,min} \quad (3.35)$$

$$a_{ij}^{min} - a_{ij}^0 \leq \Delta a_{ij} \leq a_{ij}^{max} - a_{ij}^0 \quad (3.36)$$

$$0 \leq \Delta P_{L,i} \leq P_{L,i} \quad (3.37)$$

$$\frac{\Delta Q_{L,i}}{\Delta P_{L,i}} = \frac{Q_{L,i}}{P_{L,i}} = \alpha_i \quad (3.38)$$

โดยที่	C_i^{G+}	คือ ค่าใช้จ่ายเมื่อเพิ่มกำลังการผลิตไฟฟ้าที่บัส i
	ΔP_i^{G+}	กำลังการผลิตไฟฟ้าที่เพิ่มขึ้นที่บัส i
	C_i^{G-}	ค่าใช้จ่ายเมื่อลดกำลังการผลิตไฟฟ้าที่บัส i
	ΔP_i^{G-}	กำลังการผลิตไฟฟ้าที่ลดลงที่บัส i

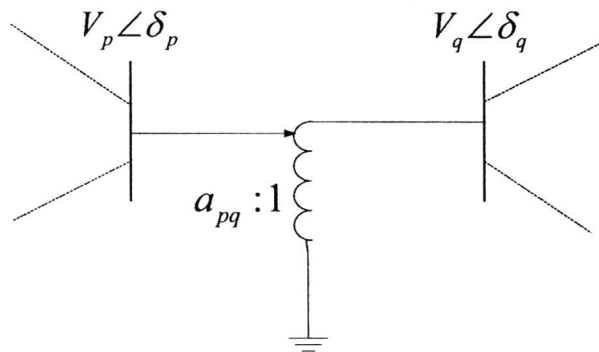
$P_i^{G_0}$	คือ	กำลังการผลิตไฟฟ้าที่บัส i
$C_{L,i}$	คือ	ผลกระทบจากการตัดโหลดที่บัส i
$P_{L,i}$	คือ	ปริมาณโหลดที่บัส i
$\Delta P_{L,i}$	คือ	ปริมาณโหลดกำลังจริงที่ถูกตัดออกจากระบบที่บัส i
w_a	คือ	ผลกระทบจากการปรับแท็ปหน้มอแปลง
Δa_t	คือ	แท็ปหน้มอแปลงที่เปลี่ยนแปลงของหน้มอแปลง t
P_{LS}^0	คือ	กำลังไฟฟ้าสูญเสียรวมทั้งระบบ
ΔP_{LS}	คือ	กำลังไฟฟ้าสูญเสียรวมทั้งระบบที่เปลี่ยนแปลง
S_{ij}^0	คือ	กำลังไฟฟ้าปราภูในสายส่งจากบัส i ไปบัส j
ΔS_{ij}	คือ	กำลังไฟฟ้าปราภูในสายส่งที่เปลี่ยนแปลงจากบัส i ไปบัส j
S_{ij}^{limit}	คือ	ข้อจำกัดกำลังไฟฟ้าปราภูในสายส่งจากบัส i ไปบัส j
V_i^{min}	คือ	ข้อจำกัดแรงดันต่ำสุดที่บัส i
V_i^{max}	คือ	ข้อจำกัดแรงดันสูงสุดที่บัส i
V_i^0	คือ	แรงดันที่บัส i
ΔV_i	คือ	แรงดันที่เปลี่ยนแปลงที่บัส i
$P_i^{G,max}$	คือ	ข้อจำกัดกำลังการผลิตไฟฟ้าสูงสุดที่บัส i
$P_i^{G,min}$	คือ	ข้อจำกัดกำลังการผลิตไฟฟ้าต่ำสุดที่บัส i
a_{ij}^{min}	คือ	ข้อจำกัดแท็ปหน้มอแปลงต่ำสุดที่เชื่อมต่อระหว่างบัส i กับบัส j
a_{ij}^{max}	คือ	ข้อจำกัดแท็ปหน้มอแปลงมากสุดที่เชื่อมต่อระหว่างบัส i กับบัส j
a_{ij}^0	คือ	แท็ปหน้มอแปลงที่เชื่อมต่อระหว่างบัส i กับบัส j
Δa_{ij}	คือ	แท็ปหน้มอแปลงที่เปลี่ยนแปลงที่เชื่อมต่อระหว่างบัส i กับบัส j
$\Delta Q_{L,i}$	คือ	ปริมาณโหลดกำลังรีแอคทีฟที่ถูกตัดออกจากระบบที่บัส i
$Q_{L,i}$	คือ	ปริมาณโหลดกำลังรีแอคทีฟที่บัส i
α_i	คือ	สัดส่วนระหว่างปริมาณกำลังไฟฟารีแอคทีฟกับกำลังไฟฟ้าจริงของโหลดที่บัส i (MVA_r/MW)
NG	คือ	จำนวนเครื่องกำเนิดไฟฟ้าทั้งหมดในระบบ
NL	คือ	จำนวนโหลดทั้งหมดในระบบ
NT	คือ	จำนวนหน้มอแปลงที่สามารถปรับแท็ปได้

การแก้ปัญหาค่าชี้ดสุดนี้จะใช้วิธีการประมาณพิงก์ชันชี้ดจำกัดต่างๆแบบเชิงเส้นให้อยู่ในรูปพารามิเตอร์ของระบบไฟฟ้ากำลังที่เราต้องทำการปรับค่า ก่อนนำเข้าสู่กระบวนการแก้ปัญหาค่าชี้ดสุดแบบคัวอดราติก (Quadratic programming)

3.8 แบบจำลองหม้อแปลงที่สามารถปรับแท็ปได้

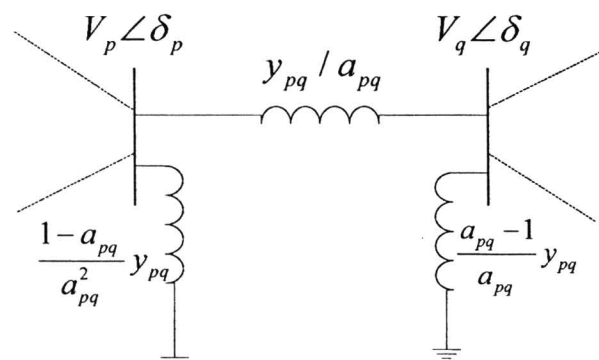
หม้อแปลงที่มีแท็ปนั้นจะสามารถปรับแท็ปเพื่อเพิ่มแรงดัน (Step up) หรือลดแรงดัน (Step down) ได้หลายระดับ โดยจะทำการปรับแท็ปเพื่อใช้ปรับเพิ่มแรงดันเมื่อเกิดแรงดันตก หรือปรับลดแรงดันเมื่อเกิดแรงดันเกิน โดยรักษาระดับแรงดันด้านแรงต่ำให้คงที่ ซึ่งในหม้อแปลงขนาดใหญ่จะใช้การปรับแท็ปด้วยสวิตซ์อัตโนมัติ

โดยทั่วไป หม้อแปลงที่สามารถปรับแท็ปได้นั้น จะมีอัตราส่วนของจำนวนรอบขดลวดแบบไม่ปกติ (Off-nominal turn ratio) ซึ่งเราสามารถพิจารณาให้เป็นหม้อแปลงที่สามารถปรับแท็ปได้เชิงอุดมคติได้ โดยมีอัตราส่วนของแท็ปเป็น $a_{pq} : 1$ [21] ดังรูปที่ 3.11



รูปที่ 3.11 แบบจำลองหม้อแปลงที่สามารถปรับแท็ปได้

โดยที่แท็ปหม้อแปลง a_{pq} นั้น มีค่าเป็นจำนวนจริง และเมื่อพิจารณาจากแบบจำลองหม้อแปลงที่สามารถปรับแท็ปได้นั้น เราสามารถเปลี่ยนแบบจำลองหม้อแปลงที่สามารถปรับแท็ปได้ให้อยู่ในรูปแบบวงจรสมมูลแบบ π ได้ดังรูปที่ 3.12



รูปที่ 3.12 วงจรสมมูลแบบ π ของหม้อแปลงที่สามารถปรับแท็ปได้

จากวงจรสมมูลแบบ π ของหม้อแปลงที่สามารถปรับแท็ปได้นั้น สามารถแสดงความสัมพันธ์ระหว่างกระแสที่จัดเข้าบัส กับแรงดันที่บัส ได้ดังสมการที่ (3.39)

$$\begin{bmatrix} I_p \\ I_q \end{bmatrix} = \begin{bmatrix} \frac{y_{pq}}{a_{pq}^2} & -\frac{y_{pq}}{a_{pq}} \\ -\frac{y_{pq}}{a_{pq}} & \frac{y_{pq}}{a_{pq}} \end{bmatrix} \begin{bmatrix} V_p \\ V_q \end{bmatrix} \quad (3.39)$$

ดังนั้นกำลังไฟฟ้าจริงที่จัดเข้าที่บัสที่เชื่อมระหว่างหม้อแปลงที่สามารถปรับแท็ปได้สามารถคำนวณได้จากสมการที่ (3.40)- (3.41)

$$\begin{aligned} P_p &= V_p^2 G_{pp} + \sum_{k \neq p} V_p V_k (G_{pk} \cos(\delta_p - \delta_k) + B_{pk} \sin(\delta_p - \delta_k)) \\ &\quad + V_p V_q (G_{pq} \cos(\delta_p - \delta_q) + B_{pq} \sin(\delta_p - \delta_q)) \end{aligned} \quad (3.40)$$

$$\begin{aligned} P_q &= V_q^2 G_{qq} + \sum_{k \neq q} V_q V_k (G_{qk} \cos(\delta_q - \delta_k) + B_{qk} \sin(\delta_q - \delta_k)) \\ &\quad + V_q V_p (G_{qp} \cos(\delta_q - \delta_p) + B_{qp} \sin(\delta_q - \delta_p)) \end{aligned} \quad (3.41)$$

และกำลังไฟฟารีแอคทิฟที่จัดเข้าที่บัสที่เชื่อมระหว่างหม้อแปลงที่สามารถปรับแท็ปได้สามารถคำนวณได้จากสมการที่ (3.42)- (3.43)

$$\begin{aligned} Q_p &= -V_p^2 B_{pp} + \sum_{k \neq p} V_p V_k (G_{pk} \sin(\delta_p - \delta_k) - B_{pk} \cos(\delta_p - \delta_k)) \\ &\quad + V_p V_q (G_{pq} \sin(\delta_p - \delta_q) - B_{pq} \cos(\delta_p - \delta_q)) \end{aligned} \quad (3.42)$$

$$\begin{aligned} Q_q &= -V_q^2 B_{qq} + \sum_{k \neq q} V_q V_k (G_{qk} \sin(\delta_q - \delta_k) - B_{qk} \cos(\delta_q - \delta_k)) \\ &\quad + V_q V_p (G_{qp} \sin(\delta_q - \delta_p) - B_{qp} \cos(\delta_q - \delta_p)) \end{aligned} \quad (3.43)$$

โดยที่

$$\begin{aligned} G_{pp} &= G'_{pp} + \frac{g_{pq}}{a_{pq}^2} & G_{pq} &= -\frac{g_{pq}}{a_{pq}} \\ B_{pp} &= B'_{pp} + \frac{b_{pq}}{a_{pq}^2} & B_{pq} &= -\frac{b_{pq}}{a_{pq}} \end{aligned}$$

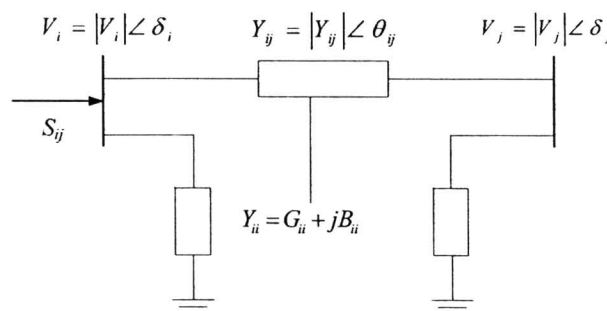
$$\begin{aligned} G_{qp} &= -\frac{g_{qp}}{a_{pq}} & G_{qq} &= g_{qp} \\ B_{qp} &= -\frac{b_{qp}}{a_{pq}} & B_{qq} &= b_{qp} \end{aligned}$$

3.9 การประมาณฟังก์ชันแบบเชิงเส้น

การประมาณเชิงเส้นคือ การประมาณระบบที่มีความสัมพันธ์กันแบบไม่เป็นเชิงเส้นให้เป็นระบบที่มีความสัมพันธ์แบบเป็นเชิงเส้น หลักการของการประมาณเชิงเส้นมาจากการประยุกต์ใช้อนุกรมเทเลอร์ซึ่งเป็นการหาค่าการเปลี่ยนแปลงรอบจุดทำงานตั้งต้น การประมาณฟังก์ชันแบบเชิงเส้นสามารถช่วยให้การแก้ปัญหาค่าขีดสุดทำได้รวดเร็วขึ้น โดยเราจะทำการประมาณการเปลี่ยนแปลงของพารามิเตอร์ในระบบไฟฟ้ากำลังด้วยค่าน้อยๆแล้วอาศัยการทำขั้นตอนเพื่อให้ได้คำตอบที่แม่นยำมากขึ้น [21], [23], [24] เมื่อพิจารณาปัญหาค่าขีดสุดจากสมการที่ (3.30) และเงื่อนไขบังคับต่างๆจากสมการที่ (3.31)-(3.38) พบว่า ฟังก์ชันที่สามารถใช้ในการประมาณแบบเชิงเส้นได้ คือ ฟังก์ชันกำลังไฟฟ้าปรากฏในสายส่ง ฟังก์ชันแรงดันที่บัส และฟังก์ชันกำลังไฟฟ้าสูญเสียรวมทั้งระบบ ด้วยการประมาณฟังก์ชันเหล่านี้ให้อยู่ในรูปพารามิเตอร์ของระบบไฟฟ้ากำลังที่เราต้องทำการปรับค่า นั้นคือ ปริมาณกำลังการผลิตที่ต้องการปรับเพิ่มหรือลดกำลังการผลิต ปริมาณโหลดที่ต้องถูกตัดออกจากระบบ และแท็ปหน้าแปลงที่ต้องปรับ ซึ่งการประมาณแบบเชิงเส้นของฟังก์ชันเหล่านี้สามารถแสดงได้ดังต่อไปนี้

3.9.1 การประมาณเชิงเส้นของกำลังไฟฟ้าปรากฏในสายส่ง

กำลังไฟฟ้าปรากฏในสายส่งในรูปที่ 3.13 นั้นมีความสัมพันธ์กับกำลังไฟฟ้าจริงและกำลังไฟฟ้ารีแอคทีฟที่ไหลในสายส่งดังสมการที่ (3.44) ซึ่งกำลังไฟฟ้าจริงและกำลังไฟฟ้ารีแอคทีฟนี้ มีความสัมพันธ์กับแรงดันไฟฟ้าที่บัสต้นทางและบัสปลายทางดังสมการที่ (3.45) และ (3.46) ตามลำดับ



รูปที่ 3.13 กำลังไฟฟ้าปรากฏในสายส่ง

$$S_{ij} = \sqrt{p_{ij}^2 + q_{ij}^2} \quad (3.44)$$

โดยที่ $p_{ij} = |V_i|^2 |y_{ij}| \cos \theta_{ij} + G_{ii} |V_i|^2 - |V_i| |V_j| |y_{ij}| \cos(\delta_i - \delta_j - \theta_{ij}) \quad (3.45)$

$$q_{ij} = -|V_i|^2 |y_{ij}| \sin \theta_{ij} - B_{ii} |V_i|^2 - |V_i| |V_j| |y_{ij}| \sin(\delta_i - \delta_j - \theta_{ij}) \quad (3.46)$$

การประมาณเชิงเส้นของกำลังไฟฟ้าปรากฏในสายส่งเมื่อเทียบกับขนาดและมุมเฟสของแรงดันไฟฟ้า สามารถเขียนได้ดังสมการที่ (3.47), (3.50), (3.53) และ (3.56) ตามลำดับ

$$\frac{\partial S_{ij}}{\partial \delta_i} = \frac{1}{S_{ij}} \left(p_{ij} \frac{\partial p_{ij}}{\partial \delta_i} + q_{ij} \frac{\partial q_{ij}}{\partial \delta_i} \right) \quad (3.47)$$

โดยที่ $\frac{\partial p_{ij}}{\partial \delta_i} = |V_i| |V_j| |y_{ij}| \sin(\delta_i - \delta_j - \theta_{ij})$ (3.48)

$$\frac{\partial q_{ij}}{\partial \delta_i} = -|V_i| |V_j| |y_{ij}| \cos(\delta_i - \delta_j - \theta_{ij}) \quad (3.49)$$

$$\frac{\partial S_{ij}}{\partial \delta_j} = \frac{1}{S_{ij}} \left(p_{ij} \frac{\partial p_{ij}}{\partial \delta_j} + q_{ij} \frac{\partial q_{ij}}{\partial \delta_j} \right) \quad (3.50)$$

โดยที่ $\frac{\partial p_{ij}}{\partial \delta_j} = -|V_i| |V_j| |y_{ij}| \sin(\delta_i - \delta_j - \theta_{ij})$ (3.51)

$$\frac{\partial q_{ij}}{\partial \delta_j} = |V_i| |V_j| |y_{ij}| \cos(\delta_i - \delta_j - \theta_{ij}) \quad (3.52)$$

$$\frac{\partial S_{ij}}{\partial |V_i|} = \frac{1}{S_{ij}} \left(p_{ij} \frac{\partial p_{ij}}{\partial |V_i|} + q_{ij} \frac{\partial q_{ij}}{\partial |V_i|} \right) \quad (3.53)$$

โดยที่ $\frac{\partial p_{ij}}{\partial |V_i|} = 2|V_i|(|y_{ij}| \cos \theta_{ij} + G_{ii}) - |V_j| |y_{ij}| \cos(\delta_i - \delta_j - \theta_{ij})$ (3.54)

$$\frac{\partial q_{ij}}{\partial |V_i|} = -2|V_i|(|y_{ij}| \sin \theta_{ij} + B_{ii}) - |V_j| |y_{ij}| \sin(\delta_i - \delta_j - \theta_{ij}) \quad (3.55)$$

$$\frac{\partial S_{ij}}{\partial |V_j|} = \frac{1}{S_{ij}} \left(p_{ij} \frac{\partial p_{ij}}{\partial |V_j|} + q_{ij} \frac{\partial q_{ij}}{\partial |V_j|} \right) \quad (3.56)$$

โดยที่ $\frac{\partial p_{ij}}{\partial |V_j|} = -|V_i| |y_{ij}| \cos(\delta_i - \delta_j - \theta_{ij})$ (3.57)

$$\frac{\partial q_{ij}}{\partial |V_j|} = -|V_i| |y_{ij}| \sin(\delta_i - \delta_j - \theta_{ij}) \quad (3.58)$$

จากการศึกษางานวิจัยในอดีต [21] พบร่วมกันว่า การปรับแต่งมัคคาเลน์มีผลต่อการให้กำลังไฟฟ้าปรากฏในสายส่งน้อยมาก ซึ่งการแก้ปัญหาค่าขีดสุดในระบบไฟฟ้ากำลังที่มีขนาดใหญ่นั้นควรที่จะคำนวนเฉพาะตัวแปรที่มีผลกับระบบและละเลยตัวแปรที่มีผลน้อยกว่ากับระบบ เพื่อให้คำตوبบที่ได้นั้นมีค่าถูกต้อง ดังนั้น ในวิทยานิพนธ์นี้จะไม่ใช้การประมาณเชิงเส้นของกำลังไฟฟ้าปรากฏในสายส่งโดยเทียบกับแท็ปมัคคาเลน์

การประมาณเชิงเส้นของกำลังไฟฟ้าปรากฏในสายส่งในสมการที่ (3.47), (3.50), (3.53), และ (3.56) สามารถเขียนในรูปเมตริกซ์ได้ดังสมการที่ (3.59) โดยสามารถแสดงความสัมพันธ์

ระหว่างการเปลี่ยนแปลงกำลังปราภรภับการเปลี่ยนแปลงกำลังการผลิต การเปลี่ยนแปลงของปริมาณโหลดที่ต้องถูกตัดออกจากระบบ และการปรับแท็ปหน้มอแปลง ได้ดังนี้

$$[\Delta S_{ij}] = \left[\frac{\partial S_{ij}}{\partial \delta} \quad \frac{\partial S_{ij}}{\partial |V|} \right] \begin{bmatrix} \Delta \delta_i \\ \Delta |V_i| \end{bmatrix} \quad (3.59)$$

$$= \left[\frac{\partial S_{ij}}{\partial \delta} \quad \frac{\partial S_{ij}}{\partial |V|} \right] \begin{bmatrix} J_a & J_b \\ J_c & J_d \end{bmatrix} \begin{bmatrix} \Delta P_i \\ \Delta Q_i \end{bmatrix} \quad (3.60)$$

$$= [T_p][\Delta P_i] + [T_q][\Delta Q_i] \quad (3.61)$$

$$= [T_p][\Delta P_i^{G+} - \Delta P_i^{G-} - \Delta P_L] + [T_q][\Delta Q_G - \Delta Q_L] \quad (3.62)$$

$$= [T_p][\Delta P_i^{G+} - \Delta P_i^{G-} - \Delta P_L] + [T_q][0 - [\alpha]\Delta P_L]^* \quad (3.63)$$

$$= [T_p][\Delta P_i^{G+}] - [T_p][\Delta P_i^{G-}] - [(T_p) + (T_q)[\alpha]] [\Delta P_L] \quad (3.64)$$

$$= [T_{G+}][\Delta P_i^{G+}] + [T_{G-}][\Delta P_i^{G-}] + [T_L][\Delta P_L] \quad (3.65)$$

*หมายเหตุ กำหนดให้กำลังรีแอคทีฟจากเครื่องกำเนิดไฟฟ้าที่เปลี่ยนแปลงไม่มีผลกับ ΔS_{ij} ดังนั้น $\Delta Q_G \approx 0$ และการตัดโหลดกำหนดให้ตัดโหลดด้วยตัวประกอบกำลังคงที่ดังนั้น $\Delta Q_L = [\alpha]\Delta P_L$

3.9.2 การประมาณเชิงเส้นของแรงดันที่บัส

เมื่อพิจารณาสมการการโหลดกำลังไฟฟ้าในสมการที่ (3.26) สามารถประมาณเชิงเส้นของแรงดันที่บัสได้ในรูปเมตริกซ์จากเบียนแต่ก่อประมาณเชิงเส้นนี้ยังไม่ได้คำนึงถึงผลที่ได้จากการปรับแท็ปหน้มอแปลง ดังนั้นการประมาณเชิงเส้นของแรงดันที่บัสในหัวข้อนี้ จะกล่าวถึงการประมาณเชิงเส้นของแรงดันที่บัสได้ในรูปเมตริกซ์จากเบียนพร้อมกับพิจารณาผลจากการปรับแท็ปหน้มอแปลงร่วมด้วย ซึ่งการประมาณเชิงเส้นสมการกำลังไฟฟ้าจริงและกำลังไฟฟ้ารีแอคทีฟเมื่อเทียบกับแท็ปหน้มอแปลง สามารถคำนวณได้ดังนี้

$$\frac{\partial P_p}{\partial a_{pq}} = V_p^2 \left(-\frac{2g_{pq}}{a_{pq}^3} \right) + V_p V_q \left(\frac{g_{pq}}{a_{pq}^2} \cos(\delta_p - \delta_q) + \frac{b_{pq}}{a_{pq}^2} \sin(\delta_p - \delta_q) \right) \quad (3.66)$$

$$\frac{\partial P_q}{\partial a_{pq}} = V_p V_q \left(\frac{g_{pq}}{a_{pq}^2} \cos(\delta_q - \delta_p) + \frac{b_{pq}}{a_{pq}^2} \sin(\delta_q - \delta_p) \right) \quad (3.67)$$

$$\frac{\partial P_k}{\partial a_{pq}} = 0 \quad (3.68)$$

$$\frac{\partial Q_p}{\partial a_{pq}} = V_p^2 \left(\frac{2b_{pq}}{a_{pq}^3} \right) + V_p V_q \left(\frac{g_{pq}}{a_{pq}^2} \sin(\delta_p - \delta_q) - \frac{b_{pq}}{a_{pq}^2} \cos(\delta_p - \delta_q) \right) \quad (3.69)$$

$$\frac{\partial Q_q}{\partial a_{pq}} = V_p V_q \left(\frac{g_{pq}}{a_{pq}^2} \sin(\delta_q - \delta_p) + \frac{b_{pq}}{a_{pq}^2} \cos(\delta_q - \delta_p) \right) \quad (3.70)$$

$$\frac{\partial Q_k}{\partial a_{pq}} = 0 \quad (3.71)$$

เมื่อพิจารณาในระบบไฟฟ้าที่มีขนาด N บัส สามารถแสดงความสัมพันธ์ระหว่างกำลังที่จัดเข้าบัสกับมุมเฟสและขนาดแรงดันที่บัส ร่วมกับแท็ปหน้มอแปลง ได้ดังสมการที่ (3.72)

$$\begin{bmatrix} \Delta P_i \\ \Delta Q_i \end{bmatrix} = \begin{bmatrix} J_1 & J_2 \\ J_3 & J_4 \end{bmatrix} \begin{bmatrix} \Delta \delta_i \\ \Delta |V_i| \end{bmatrix} + \begin{bmatrix} \frac{\partial P_i}{\partial a_{ij}} & \frac{\partial Q_i}{\partial a_{ij}} \end{bmatrix}^T \begin{bmatrix} \Delta a_{ij} \end{bmatrix} \quad (3.72)$$

จุดรูปแบบสมการให้แสดงความสัมพันธ์ระหว่างมุมเฟสและขนาดแรงดันที่บัสกับกำลังที่จัดเข้าบัสและแท็ปหน้มอแปลง ได้ดังสมการที่ (3.73)

$$\begin{bmatrix} \Delta \delta_i \\ \Delta |V_i| \end{bmatrix} = \begin{bmatrix} J_a & J_b \\ J_c & J_d \end{bmatrix} \left[\begin{bmatrix} \Delta P_i \\ \Delta Q_i \end{bmatrix} - \begin{bmatrix} \frac{\partial P_i}{\partial a_{ij}} & \frac{\partial Q_i}{\partial a_{ij}} \end{bmatrix}^T \begin{bmatrix} \Delta a_{ij} \end{bmatrix} \right] \quad (3.73)$$

และสามารถแสดงความสัมพันธ์ระหว่างการเปลี่ยนแปลงแรงดันที่บัสกับการเปลี่ยนแปลงกำลังการผลิต การเปลี่ยนแปลงของปริมาณโหลดที่ต้องถูกตัดออกจากระบบ และการปรับแท็ปหน้มอแปลง ได้ดังสมการที่ (3.74)

$$[\Delta |V_i|] = [J_c \quad J_d] \left[\begin{bmatrix} \Delta P_i \\ \Delta Q_i \end{bmatrix} - \begin{bmatrix} \frac{\partial P_i}{\partial a_{ij}} & \frac{\partial Q_i}{\partial a_{ij}} \end{bmatrix}^T \begin{bmatrix} \Delta a_{ij} \end{bmatrix} \right] \quad (3.74)$$

$$= [N_p][\Delta P_i] + [N_q][\Delta Q_i] - [N_a][\Delta a_{ij}] \quad (3.75)$$



$$= [N_p][\Delta P_i^{G+} - \Delta P_i^{G-} - \Delta P_L] + [N_q][\Delta Q_G - \Delta Q_L] - [N_a][\Delta a_{ij}] \quad (3.76)$$

$$= [N_p][\Delta P_i^{G+} - \Delta P_i^{G-} - \Delta P_L] + [N_q][0 - [\infty]\Delta P_L]^* - [N_a][\Delta a_{ij}] \quad (3.77)$$

$$= [N_p][\Delta P_i^{G+}] - [N_p][\Delta P_i^{G-}] - [[N_p] + [N_q][\infty]] [\Delta P_L] - [N_a][\Delta a_{ij}] \quad (3.78)$$

$$= [N_{G+}][\Delta P_i^{G+}] + [N_{G-}][\Delta P_i^{G-}] + [N_L][\Delta P_L] + [N_A][\Delta a_{ij}] \quad (3.79)$$

*หมายเหตุ กำหนดให้กำลังรีแอคทีฟจากเครื่องกำเนิดไฟฟ้าที่เปลี่ยนแปลงไม่มีผลกับ $\Delta |V_i|$ ดังนั้น $\Delta Q_G \approx 0$ และการตัดโหลดกำหนดให้ตัดโหลดด้วยตัวประกอบกำลังคงที่ดังนั้น $\Delta Q_L = [\infty]\Delta P_L$

3.9.3 การประมาณเชิงเส้นของกำลังไฟฟ้าสูญเสีย

วิธีการคำนวนหากำลังไฟฟ้าสูญเสียในระบบไฟฟ้ากำลังนั้น มีหลากหลายวิธีที่สามารถคำนวนหาได้ วิธีการหนึ่งที่นิยมใช้คือการคำนวนหากำลังไฟฟ้าสูญเสียจากผลรวมกำลังไฟฟ้าจริงที่จัดเข้าที่บัส ดังสมการที่ (3.80)

$$P_{ls} = \sum_{i=1}^N P_i = P_1 + P_2 + \cdots + P_N \quad (3.80)$$

กำลังไฟฟ้าจริงที่จัดเข้าที่บัสนั้นจะเขียนให้อยู่ในรูปขนาดและมุมเฟสของแรงดันที่บัส เมื่อในสมการที่ (3.10) ดังนั้นการประมาณเชิงเส้นของกำลังไฟฟ้าสูญเสียโดยทั่วไปจะประมาณกำลังไฟฟ้าสูญเสียเทียบกับขนาดและมุมเฟสของแรงดันไฟฟ้าเท่านั้น แต่ในวิทยานิพนธ์นี้ จะใช้วิธีการประมาณเชิงเส้นของกำลังไฟฟ้าสูญเสียเทียบกับขนาดและมุมเฟสของแรงดันไฟฟ้าพร้อมกับพิจารณาผลจากการปรับแท็ปหม้อแปลงร่วมด้วย

การประมาณเชิงเส้นกำลังไฟฟ้าสูญเสียเทียบกับมุมเฟสของแรงดันไฟฟ้าสามารถคำนวนได้จากสมการที่ (3.81) โดยที่อนุพันธ์อยู่สามารถคำนวนได้จากสมการที่ (3.16), (3.17)

$$\frac{\partial P_{ls}}{\partial \delta_k} = \frac{\partial P_1}{\partial \delta_k} + \frac{\partial P_2}{\partial \delta_k} + \cdots + \frac{\partial P_N}{\partial \delta_k} \quad (3.81)$$

การประมาณเชิงเส้นกำลังไฟฟ้าสูญเสียเทียบกับขนาดแรงดันไฟฟ้าสามารถคำนวนได้จากสมการที่ (3.82) โดยที่อนุพันธ์อยู่สามารถคำนวนได้จากสมการที่ (3.18), (3.19)

$$\frac{\partial P_{ls}}{\partial |V_k|} = \frac{\partial P_1}{\partial |V_k|} + \frac{\partial P_2}{\partial |V_k|} + \cdots + \frac{\partial P_N}{\partial |V_k|} \quad (3.82)$$

การประมาณเชิงเส้นกำลังไฟฟ้าสูญเสียเทียบกับแท็ปหม้อแปลงสามารถคำนวนได้จากสมการที่ (3.83) โดยที่อนุพันธ์อยู่สามารถคำนวนได้จากสมการที่ (3.66)-(3.78)

$$\frac{\partial P_{ls}}{\partial a_{ij}} = \frac{\partial P_1}{\partial a_{ij}} + \frac{\partial P_2}{\partial a_{ij}} + \cdots + \frac{\partial P_N}{\partial a_{ij}} \quad (3.83)$$

จากการประมาณเชิงเส้นกำลังไฟฟ้าสูญเสียเทียบกับมุมเฟสของแรงดันไฟฟ้า ขนาดแรงดันไฟฟ้า และแท็ปหม้อแปลง สามารถเขียนให้อยู่ในรูปเมทริกซ์ได้ดังนี้

$$\Delta P_{ls} = \begin{bmatrix} \sum_{i=1}^N \frac{\partial P_i}{\partial \delta_k} & \sum_{i=1}^N \frac{\partial P_i}{\partial |V_k|} & \sum_{i=1}^{NT} \frac{\partial P_i}{\partial a_{ij}} \end{bmatrix} \begin{bmatrix} \Delta \delta_k \\ \Delta |V_k| \\ \Delta a_{ij} \end{bmatrix} \quad (3.84)$$

และสามารถแสดงความสัมพันธ์ระหว่างการเปลี่ยนแปลงกำลังไฟฟ้าสูญเสียกับการเปลี่ยนแปลงกำลังการผลิต การเปลี่ยนแปลงของปริมาณโหลดที่ต้องถูกตัดออกจากระบบ และการปรับเท็ปหน้มอแปลงได้ ดังสมการที่ (3.85)

$$\Delta P_{ls} = \left[\sum_{i=1}^N \frac{\partial P_i}{\partial \delta_k} \quad \sum_{i=1}^N \frac{\partial P_i}{\partial |V_k|} \right] \begin{bmatrix} \Delta \delta_k \\ \Delta |V_k| \end{bmatrix} + \left[\sum_{i=1}^{NT} \frac{\partial P_i}{\partial a_{ij}} \right] [\Delta a_{ij}] \quad (3.85)$$

$$= \left[\sum_{i=1}^N \frac{\partial P_i}{\partial \delta_k} \quad \sum_{i=1}^N \frac{\partial P_i}{\partial |V_k|} \right] \begin{bmatrix} J_a & J_b \\ J_c & J_d \end{bmatrix} \begin{bmatrix} \Delta P_k \\ \Delta Q_k \end{bmatrix} + \left[\sum_{i=1}^{NT} \frac{\partial P_i}{\partial a_{ij}} \right] [\Delta a_{ij}] \quad (3.86)$$

$$= [M_p][\Delta P_k] + [M_q][\Delta Q_k] + [M_a][\Delta a_{ij}] \quad (3.87)$$

$$= [M_p][\Delta P_i^{G+} - \Delta P_i^{G-} - \Delta P_L] + [M_q][\Delta Q_G - \Delta Q_L] + [M_a][\Delta a_{ij}] \quad (3.88)$$

$$= [M_p][\Delta P_i^{G+} - \Delta P_i^{G-} - \Delta P_L] + [M_q][0 - [\infty]\Delta P_L]^* + [M_a][\Delta a_{ij}] \quad (3.89)$$

$$= [M_p][\Delta P_i^{G+}] - [M_p][\Delta P_i^{G-}] - [[M_p] + [M_q][\infty]] [\Delta P_L] + [M_a][\Delta a_{ij}] \quad (3.90)$$

$$= [M_{G+}][\Delta P_i^{G+}] + [M_{G-}][\Delta P_i^{G-}] + [M_L][\Delta P_L] + [M_A][\Delta a_{ij}] \quad (3.91)$$

*หมายเหตุ กำหนดให้กำลังรีแอคทีฟจากเครื่องกำเนิดไฟฟ้าที่เปลี่ยนแปลงไม่มีผลกับ ΔP_{ls} ดังนั้น $\Delta Q_G \approx 0$ และการตัดโหลดกำหนดให้ตัดโหลดด้วยตัวประกอบกำลังคงที่ดังนั้น $\Delta Q_L = [\infty]\Delta P_L$

3.9.4 การจัดรูปของการประมาณเชิงเส้นเพื่อแก้ปัญหาค่าขีดสุด

จากการประมาณเชิงเส้นของทั้ง 3 พังก์ชัน ดังที่กล่าวไปแล้วข้างต้น คือ 1.พังก์ชันกำลังไฟฟ้าปรากฏในสายส่ง 2.พังก์ชันแรงดันที่บัส และ 3.พังก์ชันกำลังไฟฟ้าสูญเสียรวมทั้งระบบซึ่งพังก์ชันเหล่านี้ถูกประมาณให้อยู่ในรูปพารามิเตอร์ของระบบไฟฟ้ากำลังที่เราต้องทำการปรับค่านั้นคือ ปริมาณกำลังการผลิตที่ต้องการปรับเพิ่มหรือลดกำลังการผลิต ปริมาณโหลดที่ต้องถูกตัดออกจากระบบ และแท็ปหน้มอแปลงที่ต้องปรับ จากพังก์ชันเป้าหมาย (3.30) และพังก์ชันเงื่อนไข (3.31)-(3.38) ที่ได้ประมาณเชิงเส้นดังสมการที่ (3.65), (3.79) และ (3.91) สามารถนำมาจัดให้อยู่ในรูปพังก์ชันอย่างง่ายสำหรับการนำไปใช้แก้ปัญหาค่าขีดสุดได้ดังสมการต่อไปนี้

$$\text{Min } z = [C^{G+} \ C^{G-} \ C_L \ 0][X] + [X]^T \text{diag}([0 \ 0 \ 0 \ w_a])[X] \quad (3.92)$$

s.t.

$$[1 - M_{G+} \ -1 - M_{G-} \ 1 - M_L \ -M_A][X] = [P_L] + [P_{Ls}^0] - [P^{G_0}] \quad (3.93)$$

$$[T_{G+} \ T_{G-} \ T_L \ 0][X] \leq [\Delta S_{ij}^{limit}] \quad (3.94)$$

$$[\Delta V_i^{min}] \leq [N_{G+} \ N_{G-} \ N_L \ N_A][X] \leq [\Delta V_i^{max}] \quad (3.95)$$

$$[1 \ 0 \ 0 \ 0][X] \leq [\Delta P_{limit}^{G+}] \quad (3.96)$$

$$[0 \ 1 \ 0 \ 0][X] \leq [\Delta P_{limit}^{G-}] \quad (3.97)$$

$$[\Delta a_{ij}^{min}] \leq [0 \ 0 \ 0 \ 1][X] \leq [\Delta a_{ij}^{max}] \quad (3.98)$$

$$[0 \ 0 \ 1 \ 0][X] \leq [\Delta P_L^{max}] \quad (3.99)$$

$$[X] = [\Delta P^{G+} \ \Delta P^{G-} \ \Delta P_L \ \Delta a]^T \quad (3.100)$$

โดยที่	C^{G+}	คือ เมทริกซ์ของ C_i^{G+}
	C^{G-}	คือ เมทริกซ์ของ C_i^{G-}
	C_L	คือ เมทริกซ์ของ $C_{L,i}$
	P^{G+}	คือ เมทริกซ์ของ P^{G+}
	ΔP^{G-}	คือ เมทริกซ์ของ ΔP^{G-}
	ΔP_L	คือ เมทริกซ์ของ ΔP_L
	Δa	คือ เมทริกซ์ของ Δa_t
	P_L	คือ เมทริกซ์ผลรวมของ $P_{L,i}$
	$P_i^{G_0}$	คือ เมทริกซ์ผลรวมของ $P_i^{G_0}$
	$T_{G+}, \ T_{G-}, \ T_L$	คือ เมทริกซ์สัมประสิทธิ์แสดงความสัมพันธ์ของการเปลี่ยนแปลงกำลังไฟฟ้าประภูมิในสายส่งกับการเปลี่ยนแปลงค่าพารามิเตอร์ในระบบ

N_{G+} , N_{G-} , N_L , N_A คือ เมทริกซ์สัมประสิทธิ์แสดงความสัมพันธ์ของการเปลี่ยนแปลงขนาดแรงดันที่บัสกับการเปลี่ยนแปลงค่าพารามิเตอร์ในระบบ

M_{G+} , M_{G-} , M_L , M_A คือ เมทริกซ์สัมประสิทธิ์แสดงความสัมพันธ์ของการเปลี่ยนแปลงกำลังไฟฟ้าสูญเสียในระบบกับการเปลี่ยนแปลงค่าพารามิเตอร์ในระบบ

3.10 การคำนวณค่าดัชนีความเสี่ยอื่อได้

ดัชนีความเสี่ยอื่อได้เป็นตัวชี้วัดที่สำคัญในการประเมินความเสี่ยอื่อได้ของระบบไฟฟ้า กำลังเพื่อที่จะสามารถระบุได้ว่าความเสี่ยอื่อได้ของระบบไฟฟ้ากำลังนั้นเป็นอย่างไร มีความเสี่ยอื่อได้มากน้อยแค่ไหน ทำให้สามารถเปรียบเทียบกับระหว่างระบบต่างๆได้ ทำให้สามารถตั้งเป้าหมายที่จะปรับปรุงดัชนีความเสี่ยอื่อได้ให้อยู่ในเกณฑ์ที่ยอมรับได้และดำเนินการให้เป็นไปตามเป้าหมายได้ ดัชนีความเสี่ยอื่อได้ที่สำคัญต่างๆ เช่น LOLP, LOLF, LOLD, SAIFI, SAIDI, EPNS, EENS และ EIC เป็นต้น โดยที่ดัชนีความเสี่ยอื่อได้เหล่านี้จะถูกคำนวณในแต่ละรอบของการจำลองเหตุการณ์ ซึ่งในการจำลองเหตุการณ์แบบมอนติคาร์โลนั้นสามารถคำนวณดัชนีต่างๆเหล่านี้ได้ จากนิยามดังต่อไปนี้ [1], [15], [20], [21]

-LOLP (Loss Of Load Probability) คือ ดัชนีที่แสดงถึงความน่าจะเป็นที่ระบบอยู่ในสถานะเสีย

$$LOLP = \frac{\text{ระยะเวลาทั้งหมดที่ระบบอยู่ในสถานะเสียในการจำลองเหตุการณ์}}{\text{ระยะเวลาทั้งหมดที่ใช้ในการจำลองเหตุการณ์}} \quad (3.101)$$

-LOLF (Loss Of Load Frequency) คือ ดัชนีที่แสดงถึงความถี่ที่ระบบเกิดการเปลี่ยนสถานะจากดีไปสถานะเสีย มีหน่วยเป็น ครั้งต่อปี

$$LOLF = \frac{\text{จำนวนครั้งทั้งหมดที่ระบบเปลี่ยนจากสถานะดีไปสถานะเสียในการจำลองเหตุการณ์}}{\text{ระยะเวลาทั้งหมดที่ใช้ในการจำลองเหตุการณ์}} \quad (3.102)$$

-LOLD (Loss Of Load Duration) คือ ดัชนีที่แสดงถึงระยะเวลาที่ระบบอยู่ในสถานะเสียแต่ละครั้ง มีหน่วยเป็น ชั่วโมงต่อปี

$$LOLD = \frac{\text{ระยะเวลาทั้งหมดที่ระบบอยู่ในสถานะเสียในการจำลองเหตุการณ์}}{\text{จำนวนครั้งทั้งหมดที่ระบบเปลี่ยนจากสถานะดีไปสถานะเสีย}} \quad (3.103)$$

-SAIFI (System Average Interruption Frequency Index) คือ ดัชนีที่แสดงถึงความถี่ที่ระบบอยู่ในสถานะเสียต่อจำนวนผู้ใช้ไฟฟ้าโดยเฉลี่ย มีหน่วยเป็น ครั้งต่อปีต่อราย

$$SAIFI = \frac{\text{จำนวนผู้ใช้ไฟฟ้าที่ไม่ได้รับการจ่ายไฟฟ้า}}{\text{จำนวนผู้ใช้ไฟฟ้าทั้งหมด}} \quad (3.104)$$

-SAIDI (System Average Interruption Duration Index) คือ ดัชนีที่แสดงถึงระยะเวลาที่ระบบอยู่ในสถานะเสียต่อจำนวนผู้ใช้ไฟฟ้าโดยเฉลี่ย มีหน่วยเป็น ชั่วโมงต่อปีต่อราย

$$SAIDI = \frac{\text{จำนวนผู้ใช้ไฟฟ้าที่ไม่ได้รับการจ่ายไฟฟ้า} \times \text{ระยะเวลาในสถานะนั้น}}{\text{จำนวนผู้ใช้ไฟฟ้าทั้งหมด}} \quad (3.105)$$

-EPNS (Expected Power Not Supplied) คือ ดัชนีที่แสดงถึงปริมาณโหลดที่คาดว่าจะไม่ได้รับการจ่ายกำลังไฟฟ้า มีหน่วยเป็น MW

$$EPNS = \frac{\text{โหลดที่ไม่ได้รับการจ่าย} \times \text{ระยะเวลาในสถานะนั้น}}{\text{ระยะเวลาทั้งหมดที่ใช้ในการจำลองเหตุการณ์}} \quad (3.106)$$

-EENS (Expected Energy Not Supplied) คือ ดัชนีที่แสดงถึงปริมาณโหลดที่คาดว่าจะไม่ได้รับการจ่ายพลังงานไฟฟ้า มีหน่วยเป็น MWh/yr

$$EENS = EPNS \times 8760 \quad (3.107)$$

-EIC (Expected Interruption Cost) คือ ดัชนีที่แสดงถึงความสูญเสียของโหลดที่คาดว่าจะไม่ได้รับการจ่ายพลังงานไฟฟ้า มีหน่วยเป็น บาทต่อปี

$$EIC = IEAR \times EENS \quad (3.108)$$

โดยที่ IEAR คือ อัตราความสูญเสียของโหลดที่คาดว่าจะไม่ได้รับการจ่ายพลังงานไฟฟ้า (Interrupted Energy Assessment Rate) มีหน่วยเป็น บาท/MWh

โดยที่ดัชนี LOLP, LOLF, LOLD, SAIFI, SAIDI และ EPNS จะเป็นดัชนีที่ใช้ในการคำนวณหาค่าความคลาดเคลื่อนสัมพัทธ์ ซึ่งจะกล่าวถึงในหัวข้อถัดไป ส่วนดัชนี EENS และ EIC เป็นดัชนีที่คำนวณได้จากการคำนวณ EPNS โดยตรง ดังนั้น ดัชนี EENS และ EIC จึงไม่มีความจำเป็นที่จะต้องคำนวณหาค่าความคลาดเคลื่อนสัมพัทธ์ เพื่อเป็นการลดขั้นตอนการคำนวณซ้ำซ้อน

3.11 เกณฑ์การหยุดคำนวณ (*Stopping Criteria*)

การวิเคราะห์หาจำนวนรอบของการจำลองเหตุการณ์แบบมอนติคาโรให้เหมาะสมต่อการนำไปใช้งานนั้นจะอาศัยกฎการหยุดการจำลองเหตุการณ์ (*Stopping rule*) ซึ่งโดยทั่วไปมีเกณฑ์ที่ใช้ในการกำหนดจำนวนรอบการจำลองเหตุการณ์อยู่สองแบบ [1] คือ

1) การกำหนดจำนวนรอบสูงสุดในการจำลองเหตุการณ์ไว้ที่ค่าคงที่ค่านึง (*Pre-specified number of trials*) ซึ่งมีข้อเสีย คือ หากเรามีเข้าใจระบบและพฤติกรรมของระบบที่ใช้ทำการจำลองเหตุการณ์อย่างดีพอ ก็จะส่งผลต่อความแม่นยำของผลลัพธ์

2) การกำหนดค่าความคลาดเคลื่อนสัมพัทธ์สูงสุดของดัชนีไว้ที่ค่าคงที่ค่านึง (*Pre-specified precision*) เป็นวิธีที่อาศัยหลักการทดสอบทางสถิติ ด้วยการตั้งค่าของระดับความแม่นยำ (*Degree of precision*) หรือตั้งช่วงความเชื่อมั่น (*Confidence interval*) แทน โดยจะทำการคำนวณหากคลาดเคลื่อนสัมพัทธ์ในแต่ละรอบการจำลองเหตุการณ์ ซึ่งจะทำการจำลองเหตุการณ์จนค่าคลาดเคลื่อนสัมพัทธ์ที่คำนวณได้ต่ำกว่าค่าความคลาดเคลื่อนสัมพัทธ์สูงสุด จึงหยุดการคำนวณ

ในวิทยานิพนธ์นี้จะใช้วิธีการการกำหนดค่าความคลาดเคลื่อนสัมพัทธ์สูงสุดของดัชนีไว้ที่ค่าคงที่ค่านึง ซึ่งการคำนวณค่าความคลาดเคลื่อนสัมพัทธ์แสดงไว้ในสมการที่ (3.109)

$$r = \frac{S}{\hat{x}\sqrt{n}} \quad (3.109)$$

โดยที่	r	คือ ความคลาดเคลื่อนสัมพัทธ์ (<i>Relative Uncertainty</i>)
	S	คือ ค่าความเบี่ยงเบนมาตรฐานของดัชนี
	\hat{x}	ค่าเฉลี่ยของดัชนี
	n	จำนวนครั้งของการสุ่ม

3.12 ขั้นตอนการจำลองเหตุการณ์แบบมอนติคาโร

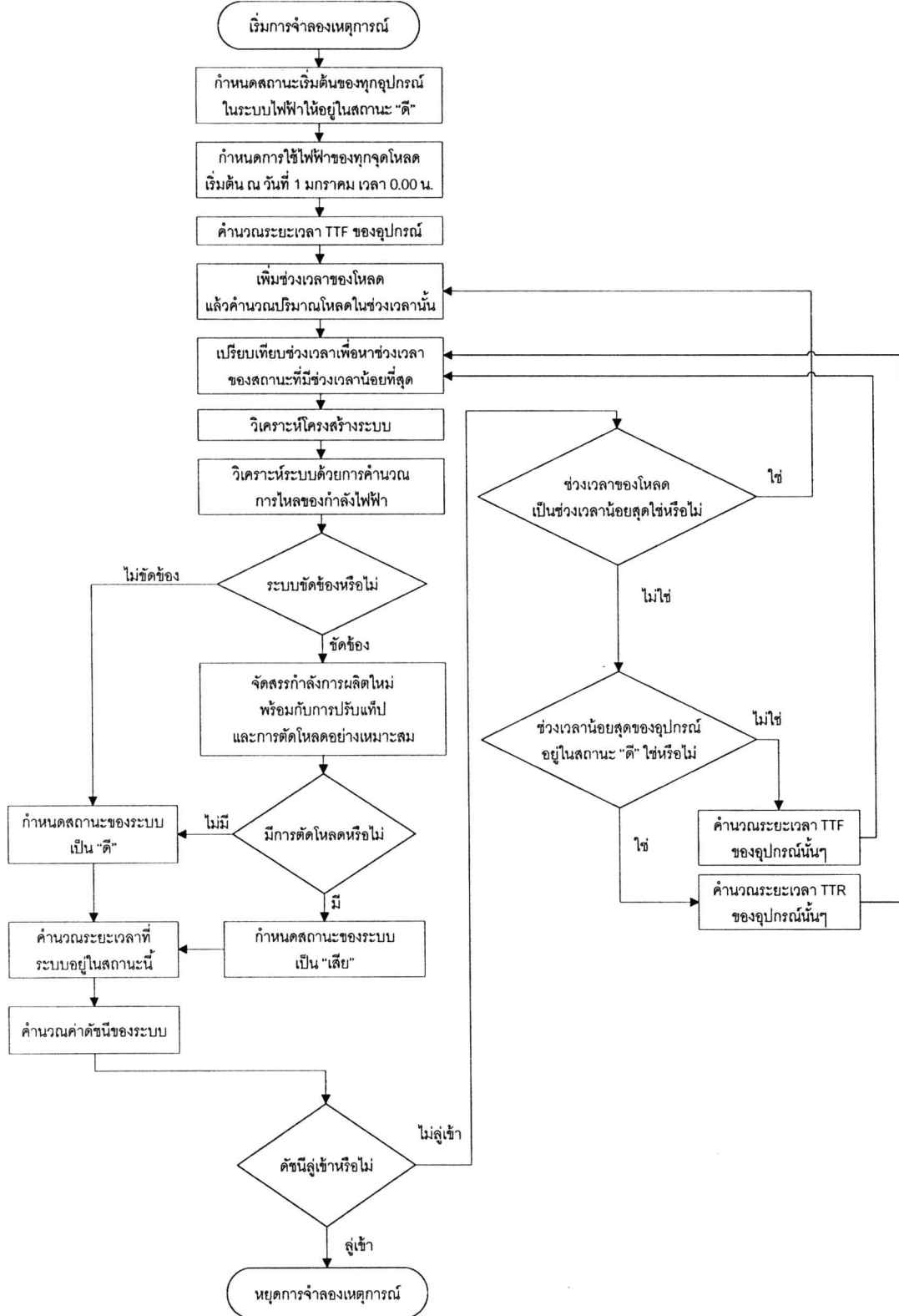
การประเมินความเชื่อถือได้ด้วยการจำลองเหตุการณ์แบบมอนติคาโรนั้น จะใช้สุมสถานะของอุปกรณ์ต่างๆในระบบ จากนั้นจะทำการวิเคราะห์หาสถานะของระบบ แล้วคำนวณดัชนีความเชื่อถือได้ของระบบและทำกระบวนการการเหล่านี้ซ้ำๆ จนกระทั่งผลตอบลู่เข้า ซึ่งมีรายละเอียดในแต่ละขั้นตอนดังนี้

1. อ่านข้อมูลระบบ
2. กำหนดสถานะเริ่มต้นของทุกอุปกรณ์ในระบบไฟฟ้า ให้อยู่ในสถานะ “ดี”
3. กำหนดการใช้ไฟฟ้าของทุกจุดโหลด ให้เริ่มต้น ณ วันที่ 1 มกราคม เวลา 0.00 น.

4. สู่การเปลี่ยนสถานะของอุปกรณ์ ด้วยการคำนวณหา TTF
5. เพิ่มช่วงเวลาของโหลด แล้วคำนวณปริมาณโหลดโดยคำนึงถึงความไม่แน่นอนของโหลด ในช่วงเวลาหนึ่งๆ
6. เปรียบเทียบช่วงเวลา เพื่อหาช่วงเวลาของสถานะที่มีช่วงเวลาห้อยที่สุด ในกรณีช่วงเวลาของโหลดเท่ากับช่วงเวลาของอุปกรณ์ กำหนดให้ช่วงเวลาห้อยสุดเป็นช่วงเวลาของอุปกรณ์
7. วิเคราะห์โครงสร้างระบบ
8. วิเคราะห์สถานะของระบบ ด้วยการคำนวณการไฟล์กำลังไฟฟ้า
9. พิจารณาว่า ระบบเกิดเหตุขัดข้องหรือไม่ ถ้าระบบไม่เกิดเหตุขัดข้อง จะกำหนดสถานะของระบบเป็น “ดี” ให้ตามไปทำงานขั้นตอนที่ 11 แต่ถ้าระบบเกิดเหตุขัดข้อง ให้แก้ปัญหา ด้วยการจัดสรรกำลังการผลิตพร้อมกับการปรับแท็ปมือแปลงและตัดโหลดอย่างเหมาะสม ให้ทำงานขั้นตอนถัดไป
10. พิจารณาว่า แก้ปัญหาด้วยการจัดสรรกำลังการผลิตพร้อมกับการปรับแท็ปมือแปลงโดย มีการตัดโหลดหรือไม่ ถ้าไม่มีการตัดโหลด จะกำหนดสถานะของระบบเป็น “ดี” แต่ถ้ามี การตัดโหลด จะกำหนดสถานะของระบบเป็น “เสีย”
11. คำนวณระยะเวลาที่ระบบอยู่ในสถานะนี้
12. คำนวณค่าดัชนีความเชื่อถือได้ของระบบ
13. คำนวณความคลาดเคลื่อนสัมพัทธ์ของดัชนี
14. พิจารณาว่า ความคลาดเคลื่อนสัมพัทธ์ของดัชนีมีค่าอยู่ในเกณฑ์ที่ยอมรับได้หรือไม่ ถ้า ความคลาดเคลื่อนสัมพัทธ์ของดัชนีมีค่ามากกว่าเกณฑ์ที่ยอมรับได้ ให้ทำงานขั้นตอน ถัดไป แต่ถ้าความคลาดเคลื่อนสัมพัทธ์ของดัชนีมีค่าน้อยกว่าหรือเท่ากับเกณฑ์ที่ยอมรับ ได้ ให้หยุดกระบวนการค้นหาคำตอบ
15. พิจารณาว่า ช่วงเวลาของสถานะที่มีช่วงเวลาห้อยที่สุดนั้นเป็นช่วงเวลาของโหลดหรือ ช่วงเวลาของอุปกรณ์ ถ้าช่วงเวลาห้อยที่สุดนั้นเป็นช่วงเวลาของโหลด ให้กลับไปทำ ขั้นตอนที่ 5 แต่ถ้าช่วงเวลาห้อยที่สุดนั้นเป็นช่วงเวลาของอุปกรณ์ ให้ทำงานขั้นตอนถัดไป
16. พิจารณาว่า สถานะของอุปกรณ์ที่อยู่ในช่วงเวลาห้อยที่สุดนั้นอยู่ในสถานะใด ถ้าสถานะ ของอุปกรณ์อยู่ในสถานะดี ให้คำนวณหา TTF และสถานะของอุปกรณ์อยู่ในสถานะเสีย ให้ คำนวณหา TTR และให้กลับไปทำขั้นตอนที่ 6

ขั้นตอนดังกล่าวสามารถสรุปเป็นแผนภาพได้ดังรูปที่ 3.14





รูปที่ 3.14 ขั้นตอนการจำลองเหตุการณ์ด้วยวิธีมอนติคาร์โลแบบสุ่มช่วงเวลาการทำงาน